

บทที่ 2

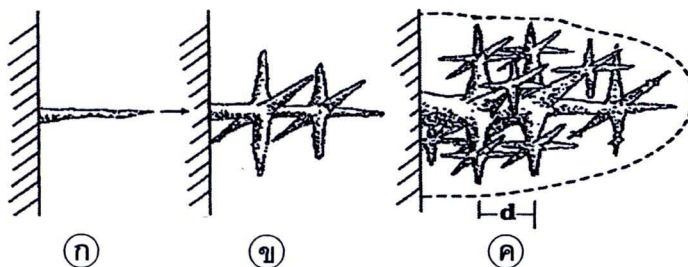
เอกสารและงานวิจัยที่เกี่ยวข้อง

โลหะอะลูมิเนียมผสมหล่อ

อะลูมิเนียมผลิตจากแร่บอกราคาไม่แพงเมื่อเปรียบเทียบกับเหล็ก คุณสมบัติเด่นคือไม่เป็นสนิมเนื่องจากมีฟิล์มของ Al_2O_3 เคลือบผิว สมบัติการขึ้นรูปดี เนื่องจากมีโครงสร้างผลึกเป็นแบบ FCC (Face Centered Cubic) นำความร้อนและไฟฟ้าได้ดี และมีน้ำหนักเบา ไม่ก่อให้เกิดประกายไฟ ไม่เป็นสารแม่เหล็ก และยังสามารถกลับมาใช้ใหม่ได้โดยไม่สูญเสียคุณภาพการใช้งาน จึงนิยมนำมาใช้ในอุตสาหกรรมที่หลากหลาย แต่อย่างไรก็ตาม อะลูมิเนียมบริสุทธิ์ยังมีความแข็งและความแข็งแรงต่ำ จึงมีการเติมธาตุในอะลูมิเนียมบริสุทธิ์ เรียกว่า "อะลูมิเนียมผสม" (Характеристики алюминия, м.п.п.) โดยธาตุที่เติม เช่น สังกะสี ชิลิกอน ทองแดง แมกนีเซียม แมกนีเซียม ลิเทียม เงิน ดีบุก นิกเกิล เป็นต้น เพื่อเพิ่มสมบัติเชิงกล ความสามารถในการขึ้นรูปชิ้นงานที่มีรูปร่างซับซ้อน และมีการนำไฟฟ้าที่ดี การเติมธาตุในอะลูมิเนียมจะทำให้ผลลัพธ์แตกต่างกันไปตามบริมาณที่เติม เช่น การเติมทองแดงจะทำให้สมบัติการไหลตัว (Fluidity) ลดลง แต่นากเติมในปริมาณ 8 เปอร์เซ็นต์ จะเป็นการเพิ่มความแข็งแรงดึง (Tensile Strength) และการเติมในปริมาณ 12 เปอร์เซ็นต์ จะช่วยปรับปรุงสมบัติทางด้านความต้านทานการกัดกร่อน (Corrosion Resistance) การเติมธาตุในอะลูมิเนียมสามารถทำได้ทั้งในระบบสองธาตุ เช่น อะลูมิเนียม-ชิลิกอน อะลูมิเนียม-ทองแดง อะลูมิเนียม-แมกนีเซียม หรืออาจเติมหลายธาตุได้ เช่น อะลูมิเนียม-ทองแดง-ชิลิกอน หรือ/และแมกนีเซียม ซึ่งอะลูมิเนียมผสมแต่ละประเภทจะมีสมบัติแตกต่างกันตามความต้องการในการใช้งาน ทั้งนี้ขึ้นอยู่กับความสามารถในการผลิตของชาติผู้ผลิต กลุ่มนี้ ในอะลูมิเนียมด้วย (Black and Kohser, 2007, p. 145)

โลหะอะลูมิเนียมผสมที่หล่อขึ้นรูปมีการนำมาใช้ในอุตสาหกรรมกันอย่างกว้างขวาง และได้มีการปรับปรุงสมบัติเชิงกลกันอย่างต่อเนื่องมาจนถึงปัจจุบัน เนื่องจากอะลูมิเนียมผสมหล่อเป็นโลหะที่มีจุดหลอมเหลวต่ำ มีความสามารถในการไหลตัวดี จึงทำให้สามารถหล่อขึ้นงานที่มีรูปร่างซับซ้อนได้ดี ชิ้นงานจากการหล่อจะมีผิวเรียบสวยงาม และสามารถปรับสภาพด้วยความร้อน (ขั้ยรัตน์ แก้วดวง, 2538, หน้า 23-35) รวมทั้งสามารถใช้เทคนิคในการหล่อได้หลายวิธี ในปัจจุบัน กรรมวิธีการหล่ออะลูมิเนียมที่นิยมนำมาใช้โดยทั่วไป คือการหล่อแบบฉีดด้วยความดัน (Pressure Die Casting) การหล่อแบบเทเข็นรูป (Gravity Die Casting) การหล่อแบบโฟม (Lost Foam

Process) การหล่อแบบกึ่งของแข็ง (Semi-solid Casting) และการหล่อแบบทราย (Sand Casting) ตามมาตรฐานของสมาคมทดสอบวัสดุของสหรัฐอเมริกาหรือ ASTM (2553) โครงสร้างของชิ้นงานหล่อจะมีลักษณะการติดแบบกึ่งก้านในทุกทิศทางอย่างสม่ำเสมอหรือเรียกว่า เดนไดรท์ (Dendrite) และมักเริ่มเกิดขึ้นในบริเวณที่ใกล้ผนังของแบบหล่อ เพราะบริเวณที่ใกล้ผนังของแบบหล่อจะมีอัตราเร็วการเย็นตัวสูง (Smith and Hashemi, 2008, p. 108) แสดงดังในภาพ 1



โดย d คือ ระยะห่างระหว่างแขนเดนไดรท์ทุกดิยภูมิ

ภาพ 1 ลักษณะการติดของ (ก) แขนเดนไดรท์ปฐมภูมิ (ข) แขนเดนไดรท์ทุกดิยภูมิ (ค) แขนเดนไดรท์ไตรภูมิ

สมาคมอะลูมิเนียมแห่งสหรัฐอเมริกาได้แบ่งโลหะอะลูมิเนียมผสมหล่อเป็นกลุ่มต่างๆ โดยให้ตัวเลขตัวแรกของรหัสแสดงถึงฐานหลักที่เติมเข้าไปในโลหะอะลูมิเนียมผสมหล่อ ดังนี้

1xx.x เป็นโลหะหล่ออะลูมิเนียมที่ไม่มีการเติมธาตุผสมเข้าไป มีเปอร์เซ็นต์อะลูมิเนียมเท่ากับ 99.0 เปอร์เซ็นต์โดยน้ำหนัก หรือมากกว่า

2xx.x มีทองแดงเป็นธาตุผสมหลัก

3xx.x มีชิลิกอน และแมกนีเซียมหรือทองแดงเป็นธาตุผสมหลัก

4xx.x มีชิลิกอนเป็นธาตุผสมหลัก

5xx.x มีแมกนีเซียมเป็นธาตุผสมหลัก

7xx.x มีสังกะสีเป็นธาตุผสมหลัก

8xx.x มีดีบุกเป็นธาตุผสมหลัก

9xx.x มีธาตุอื่นๆ เป็นธาตุผสมหลัก

ในกลุ่ม 1xx.x ตัวเลขลำดับที่ 2 จากทางซ้ายมือแสดงปริมาณอะลูมิเนียมอย่างต่ำในโลหะอะลูมิเนียมผสมหล่อ เช่น โลหะอะลูมิเนียมผสมหล่อรหัส 190.x จะมีอะลูมิเนียม 99.0

เบอร์เซ็นต์ ส่วนในกลุ่ม 2xx.x ถึง 9xx.x ตัวเลขลำดับที่ 2 จากทางซ้ายไม่มีความสำคัญแต่อย่างใด แต่ช่วยในการบ่งชี้ธาตุผสมที่แตกต่างกันในกลุ่มนั้น ส่วนตัวเลขหลังจุดทศนิยมบอกลักษณะของ ผลิตภัณฑ์ได้แก่ เลข 0 คือผลิตภัณฑ์อะลูมิเนียม เลข 1 คือผลิตภัณฑ์อะลูมิเนียมอินก็อต และเลข 2 คือผลิตภัณฑ์อะลูมิเนียมอินก็อตที่มีการเติมธาตุอื่นๆ ลงไปด้วย นอกจากนั้นอะลูมิเนียมผสมบาง กลุ่มยังมีการใช้ตัวอักษรแบ่งกลุ่มย่อยตามความแตกต่างของส่วนผสมทางเคมีเพียงเล็กน้อยของ อะลูมิเนียมผสมในกลุ่มเดียวกัน เช่น 356.0, เอ356.0, บี356.0 หรือ เอฟ356.0 สำหรับโลหะ อะลูมิเนียมผสม กรด เอ319 ที่ใช้ในการทดลองนี้เป็นกลุ่มโลหะอะลูมิเนียมผสมที่เติมซิลิกอนและ ทองแดงเป็นธาตุผสมหลัก

โครงสร้างจุลภาคของโลหะอะลูมิเนียมผสมหล่อประกอบด้วย โครงสร้างพื้น (Matrix) ของเฟส α -Al และเฟสที่เกิดจากการรวมตัวกับอะลูมิเนียมหรือธาตุผสม (Alloying Elements) อื่นๆ ซึ่งจะแตกต่างกัน ทั้งนี้ขึ้นกับส่วนผสมทางเคมี ดังแสดงในตาราง 1

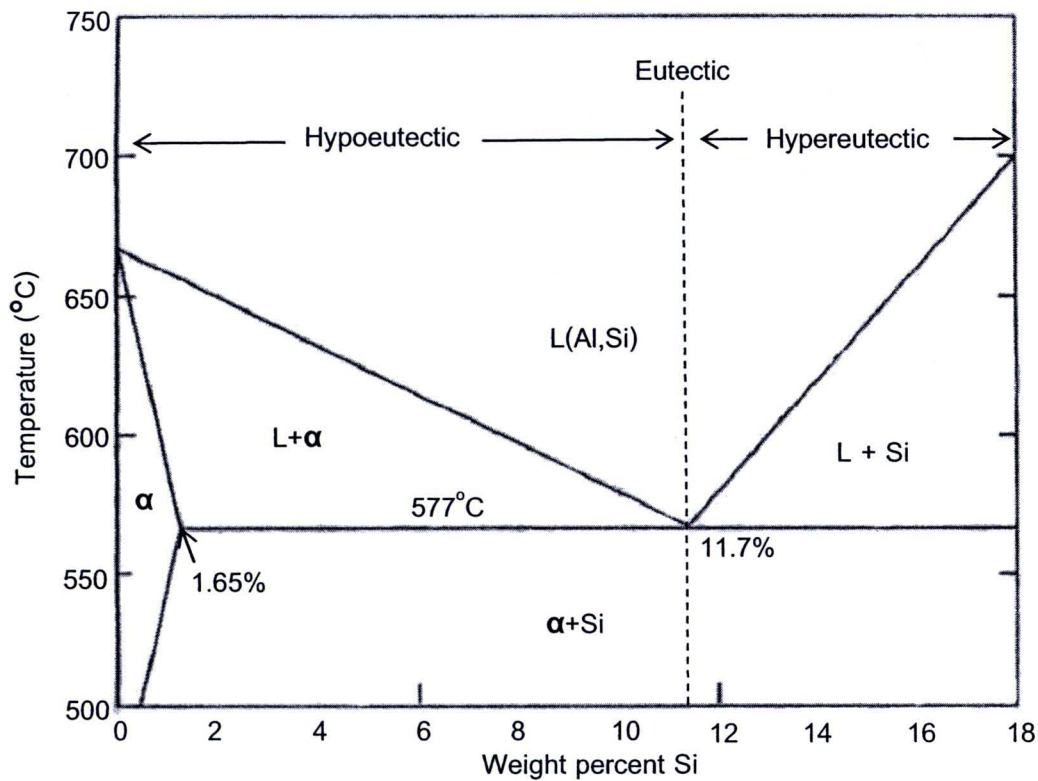
ตาราง 1 โครงสร้างหลักในโลหะผสมอะลูมิเนียมหล่อ

อะลูมิเนียมผสมหล่อ	โครงสร้างหลัก
213.0	α -Al, (Al-Cu), α (Al-Cu-Fe), α (Al-Fe-Si)
295.0	α -Al, (Al-Cu), α (Al-Fe-Si)
242.0	α -Al, (Al-Cu), α (Al-Ni), (Mg-Si), (Al-Cu-Ni)
222.0	α -Al, (Al-Cu), α (Al-Cu-Fe)
443.0	α -Al, (Si), α (Al-Fe-Si)
355.0	α -Al, (Si), P(Al-Fe-Si), (Al-Si)
356.0	α -Al, (Si), P(Al-Fe-Si), (Al-Mg)
319.0	α -Al, (Si), (Al-Cu), α (Al-Fe-Si)
514.0	α -Al, (Mg-Si), α (Al-Fe)
520.0	α -Al, α (Al-Mg), (Mg-Si), α (Al-Fe)
710.0	α -Al, (Mg-Si), α (Al-Fe-Si)
850.0	α -Al, (Sn), α (Al-Ni)
712.0	α -Al, (Mg-Si), α (Al-Fe-Si)

โลหะผสมหล่ออะลูมิเนียม-ซิลิกอน

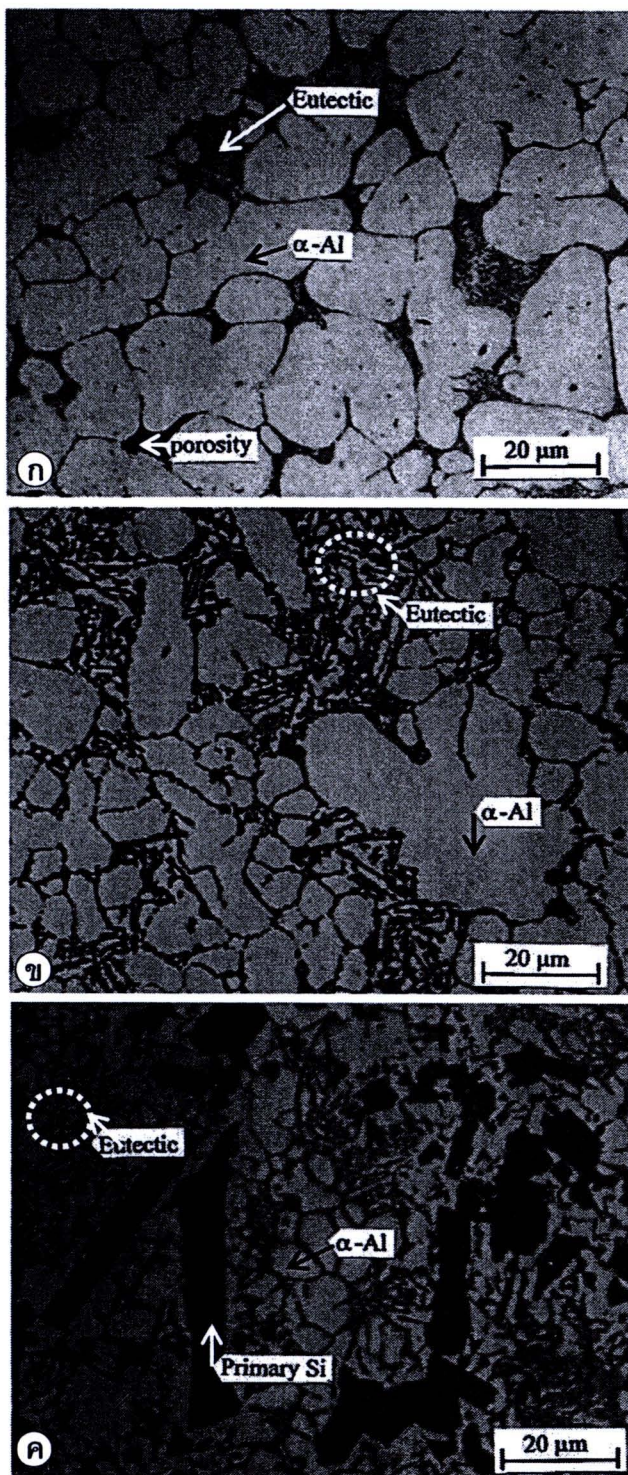
โลหะผสมอะลูมิเนียม-ซิลิกอน แบ่งออกเป็น 3 กลุ่ม ดังแสดงในภาพ 2 คือ โลหะผสมไฮโปเตกติก (Hypoeutectic) จะมีซิลิกอนน้อยกว่า 11.7 เปอร์เซ็นต์ เช่น ASTM 319, ASTM A356 โลหะผสมยูเตกติก (Eutectic) จะมีซิลิกอนเท่ากับ 11.7 เปอร์เซ็นต์ เช่น ASTM A413, ASTM 384 และโลหะผสมไฮเพอเรติก (Hypereutectic) ซึ่งมีซิลิกอนมากกว่า 11.7 เปอร์เซ็นต์ เช่น LM28 (UK standard) เนื่องจากจุดหลอมเหลวและโครงสร้างผลึกที่แตกต่างกัน จึงทำให้อะลูมิเนียมกับซิลิกอนรวมตัวกันได้น้อยมาก โดยซิลิกอนมีโครงสร้างผลึกเป็น Simple Cubic และมีจุดหลอมเหลวสูงเท่ากับ 1,414 องศาเซลเซียส ส่วนอะลูมิเนียมมีโครงสร้างผลึกเป็น FCC และมีจุดหลอมเหลวต่ำเท่ากับ 660 องศาเซลเซียส โดยซิลิกอนละลายได้สูงสุดในเฟส α เพียง 1.65 เปอร์เซ็นต์ ที่อุณหภูมิ 577 องศาเซลเซียส (มนัส สถาร Jin Da, 2536, หน้า 17)

โครงสร้างของโลหะผสมหล่ออะลูมิเนียม-ซิลิกอน ไฮโปเตกติก (ซิลิกอนน้อยกว่า 11.7 เปอร์เซ็นต์) แบ่งเป็นสองลักษณะ คือโลหะผสมที่มีซิลิกอนน้อยกว่า 1.65 เปอร์เซ็นต์ โครงสร้างประกอบด้วยเฟส α เพียงเฟสเดียว เป็นลักษณะของโลหะผสมที่อยู่ในกลุ่มขั้นรูปเย็น ส่วนโลหะผสมที่มีซิลิกอนอยู่ในช่วง 1.65-11.7 เปอร์เซ็นต์ โครงสร้างจุดภาคจะประกอบด้วยเฟส α ล้อมรอบด้วยโครงสร้างยูเตกติกของ $\alpha+Si$ ยกตัวอย่างเช่น Al-5Si ดังแสดงในภาพ 3(ก) ส่วนโลหะผสมยูเตกติก (ซิลิกอนเท่ากับ 11.7 เปอร์เซ็นต์) โครงสร้างประกอบด้วยเฟสขนาดเล็กของ α ล้อมรอบด้วยโครงสร้างยูเตกติกของเฟส $\alpha+Si$ ซึ่งมีลักษณะเป็นรูปเข็มเล็กๆ แทรกสลับกันอยู่ในเฟส α ยกตัวอย่างเช่น โลหะผสมไกลั่ยเตกติก Al-8Si ดังแสดงในภาพ 3(ข) ส่วนในโลหะผสมไฮเพอเรติก (ซิลิกอนมากกว่า 11.7 เปอร์เซ็นต์) โครงสร้างประกอบด้วยเฟส Si ที่มีลักษณะเป็นแผ่นรูปหลายเหลี่ยมกระจายโดยมีโครงสร้างยูเตกติกของ $\alpha+Si$ ล้อมรอบ ยกตัวอย่างเช่น Al-18Si ดังแสดงในภาพ 3(ค) (Niu, et al., 2000, pp. 119-127)



ภาพ 2 แผนภูมิสมดุลของระบบอะลูมิเนียม-ซิลิกอน

ที่มา: ชาลิต เรียงกุล (2542, หน้า 117)



ภาพ 3 โครงสร้างจุลภาคจากกล้องจุลทรรศน์แสงขาวของโลหะสมนหล่อ (ก) Al-5Si
(ไฮปอยูเทคติก) (ข) Al-8Si (ไฮลัลยูเทคติก) (ค) Al-18Si (ไฮเปอร์ยูเทคติก)

ที่มา: Niu, X. P., et al. (2000, pp. 119-127)

การเติมชิลิกอนในอะลูมิเนียมเป็นการเพิ่มสมบัติการหล่อตัว ทำให้โลหะผสมอะลูมิเนียม-ชิลิกอน สามารถหล่อขึ้นรูป (Castability) ชิ้นงานที่มีรูปร่างซับซ้อน ซึ่งมีการใช้งานกันอย่าง กว้างขวางในอุตสาหกรรมการก่อสร้างและอุตสาหกรรมยานยนต์สำหรับงานเรือขึ้นรูป เนื่องจาก มีราคาถูก เช่น A4032 ใช้ตัวให้เป็นลูกสูบรถยนต์ แต่ยังคงไม่เป็นที่นิยมนำไปใช้ในเชิงพาณิชย์ เนื่องจากมีความแข็งแรงต่ำและความสามารถในงานกลึงตัดหรือเชื่อมไม่ดี ส่วนสมบัติทางด้าน ความเหนียวยังคงรักษาไว้ได้หากมีส่วนผสมของชิลิกอนในปริมาณที่น้อยๆ (Kaufman, 2000, pp. 1-8) อย่างไรก็ตามโลหะผสมอะลูมิเนียม-ชิลิกอน มีสมบัติเชิงกลต่ำ การเพิ่มความแข็งและความ แข็งแรงทำได้ด้วยการเติมธาตุอื่นลงในโลหะหลอมเหลว เช่น แมกนีเซียม และทองแดง ทำให้เกิด การรวมตัวของสารประกอบเชิงโลหะขึ้น เช่น Mg_2Si และ $CuAl_2$ และการปรับสภาพด้วยความร้อน จะเพิ่มความสามารถในงานกลึงตัดหรือเชื่อม (Tsao, et al., 2002, pp. 341-346) ตาราง 2 เปรียบเทียบค่าความแข็งและค่า 0.2% ความเดินพิสูจน์ของโลหะอะลูมิเนียมและโลหะอะลูมิเนียม ผสม

ตาราง 2 สมบัติเชิงกลของโลหะอะลูมิเนียมและโลหะอะลูมิเนียมผสม

โลหะผสม	ความแข็ง (HB)	0.2% ความเดินพิสูจน์ (MPa)
Al	25	30
Al-5.2Si	45	55
Al-7.0Si-0.3Mg	50	95
Al-5.5Si-4.5Cu	70	110
Al-6.0Si-3.5Cu	85	130
Al-10.5Si-2.5Cu	75	150

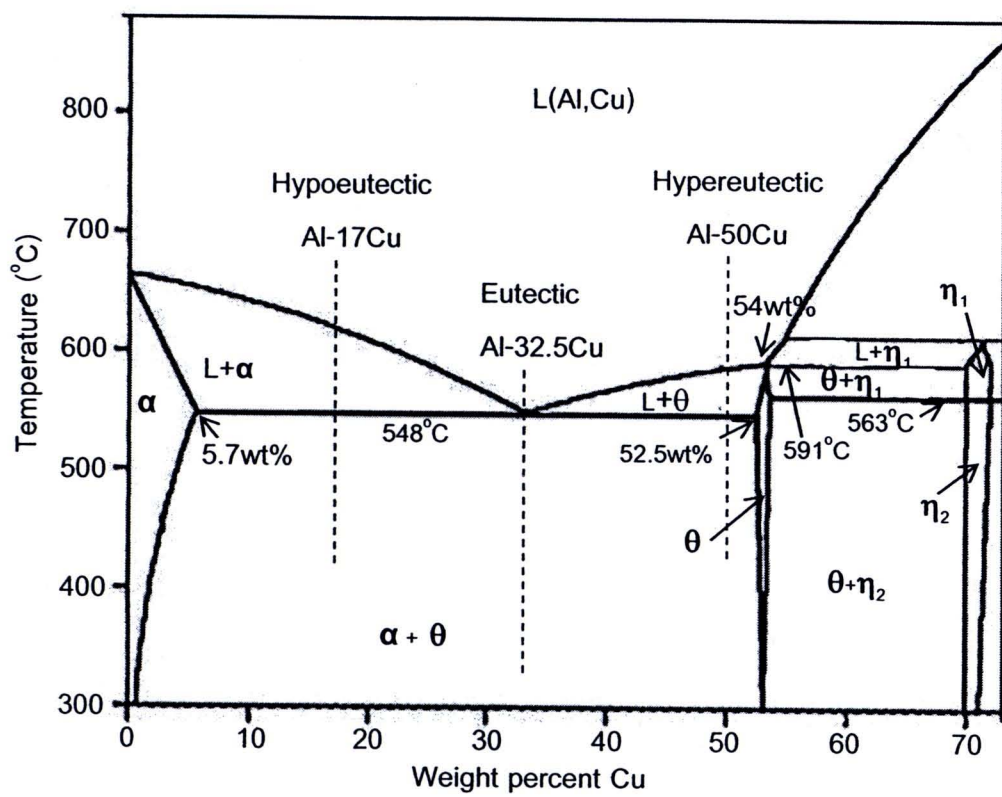
ที่มา: Kaufman, J. G. and Rooy, E. L. (2004)

โลหะผสมหล่ออะลูมิเนียม-ทองแดง

โลหะผสมอะลูมิเนียม-ทองแดง แบ่งออกเป็น 3 กลุ่ม ดังแสดงในภาพ 4 คือ โลหะผสมไฮโปอิเตกติก (Hypoeutectic) จะมีชิลิกอนน้อยกว่า 32.5 เปอร์เซ็นต์ โลหะผสมยైเปอร์อิเตกติก (Hypereutectic) ซึ่งมีชิลิกอนมากกว่า 32.5 เปอร์เซ็นต์ ทองแดงเป็นโลหะที่มีระบบผลักเป็น FCC เนื่องจากอะลูมิเนียม จึงสามารถละลายได้ในอะลูมิเนียม โดยจะเห็นว่าทองแดงสามารถละลายได้สูงสุดถึง 5.7 เปอร์เซ็นต์ ที่อุณหภูมิ 548 องศาเซลเซียส และความสามารถของการละลายจะลดลงเมื่ออุณหภูมิตำลง โดยประมาณได้เพียง 0.1-0.2 เปอร์เซ็นต์ ที่อุณหภูมิ 250 องศาเซลเซียส (มนัส สตีรจินดา, 2536, หน้า 14-16)

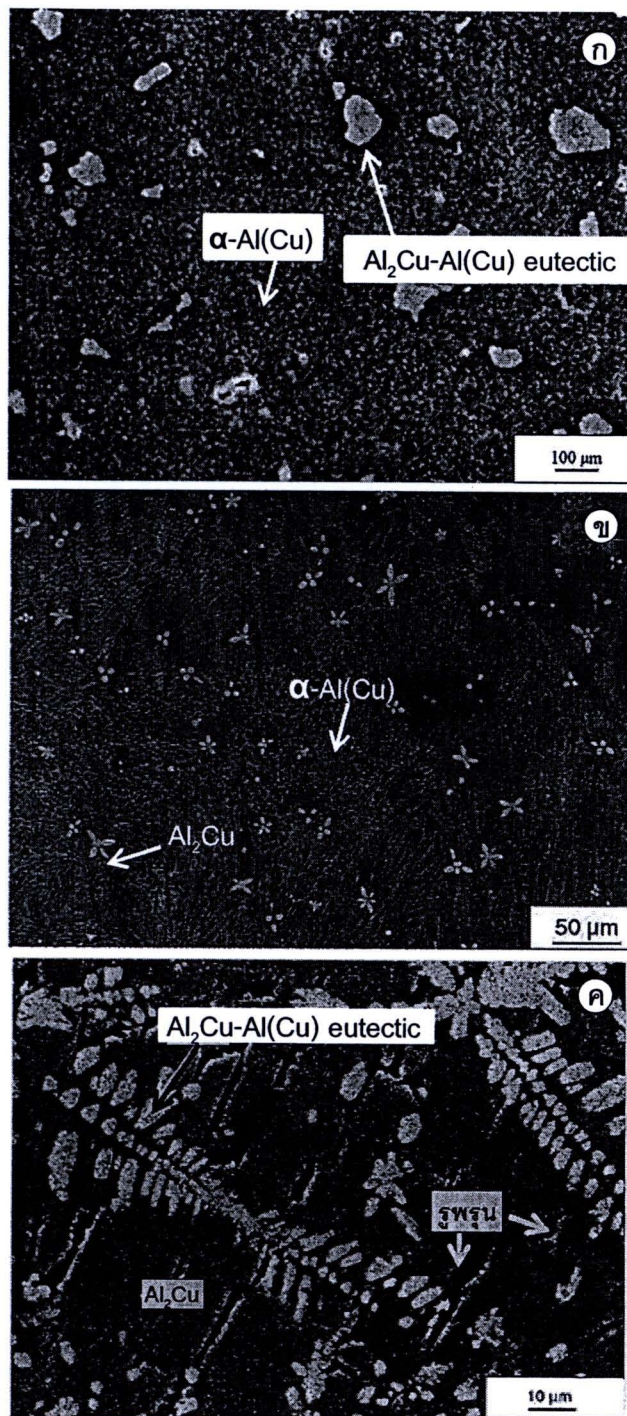
โครงสร้างจุลภาคในสภาพหล่อของโลหะผสมอะลูมิเนียม-ทองแดง แบ่งออกเป็น 3 กลุ่ม คือ โลหะผสมไฮโปอิเตกติก โครงสร้างจุลภาคประกอบด้วยโครงสร้างพื้นของ α -Al(Cu) และโครงสร้างยูเทกติกของ Al_2Cu - $\text{Al}(\text{Cu})$ ดังภาพ 5(ก) ในโลหะผสมยైเปอร์อิเตกติก โครงสร้างจุลภาคประกอบด้วยเดนไตรท α -Al(Cu) ล้อมรอบด้วยสารประกอบโลหะที่มีรูปร่างคล้าย ribbon ของเฟส Al_2Cu ดังภาพ 5(ข) ส่วนโลหะผสมไฮเปอร์อิเตกติกประกอบด้วยโครงสร้างพื้นของ Al_2Cu และโครงสร้างยูเทกติกของเฟส Al_2Cu - AlCu ดังภาพ 5(ค) (Aravind, et al., 2004, pp. 384-393) อย่างไรก็ตามโลหะผสมหล่ออะลูมิเนียม-ทองแดง โดยเฉพาะส่วนผสมไฮเปอร์อิเตกติกมักจะเกิดการหลดตัวของโครงสร้าง ทำให้มีปัญหาเรื่องการแตกหักขณะร้อน และมีรูพรุนขนาดเล็กระดับไมโครอน จำนวนมากในโครงสร้าง นอกจากนี้ยังมีความสามารถในการไหลตัวต่ำ การขึ้นรูปโดยการหล่อจึงต้องอาศัยแรงดันข่าวิการเคลื่อนที่ของน้ำโลหะ หรือออกแบบช่องทางเดินน้ำโลหะให้มีขนาดกว้างและต้องมีอุ้รัตน์ (Riser) ให้ดีและมีประสิทธิภาพด้วย (สุทธาวัลย์ อิมอุไร, 2551)

โลหะผสมอะลูมิเนียม-ทองแดง มีความสามารถในการกัดกร่อนได้ดี ซึ่งขึ้นอยู่กับปริมาณทองแดง (Zor, et al., 2010, pp. 185-191) และยังสามารถเพิ่มความสามารถด้านทานการกัดกร่อนได้ด้วยการเติมสตีรอยและสังกะสีในอะลูมิเนียมผสม (Wang, et al., 2001, pp. 104-109) นอกจากนี้โลหะผสมอะลูมิเนียม-ทองแดง ยังมีความสามารถในการใช้งานที่อุณหภูมิสูง จึงมักนำมาใช้งานกันอย่างกว้างขวางทั้งชิ้นงานหล่อและรีด แต่โลหะผสมที่มีส่วนผสมของทองแดงจะต้องด้านสมบัติความต้านทานแรงดึง จึงมีการเติมธาตุอื่นลงในโลหะผสมกลุ่มนี้ เช่น ชิลิกอนแมกนีเซียม เพื่อเพิ่มความสามารถด้านทานแรงดึง โดยมักใช้ในงานผลิตเครื่องจักรกลและอุปกรณ์ระบบไฮดรอลิก (Mohamed, et al., 2009, pp. 3943-3957)



ภาพ 4 แผนภูมิสมดุลของระบบอะลูминเนียม-ทองแดง

ที่มา: Aravind, M., et al. (2004, p. 385)



ภาพ 5 โครงสร้างจุลภาคจากกล้องจุลทรรศน์อิเล็กตรอนแบบส่องกราด (ก) Al-17Cu
(ไฮเปอร์ยูเทคติก) (ข) Al-32.5Cu (ยูเทคติก) (ค) Al-50Cu (ไฮเปอร์ยูเทคติก)

ที่มา: Aravind, M., et al. (2004, pp. 384-393)



โลหะผสมหล่ออะลูมิเนียม-ซิลิกอน-ทองแดง

โลหะผสมหล่ออะลูมิเนียม-ซิลิกอน-ทองแดง เป็นการพัฒนามาจากสมดุลสองระบบของโลหะผสมอะลูมิเนียม-ซิลิกอน นิยมใช้ในอุตสาหกรรมอย่างกว้างขวางเนื่องจากมีความแข็งแรง และการไนลด์แทรกซึ่งเข้าแบบหล่อได้ดี และเหมาะสมสำหรับงานหล่อชิ้นงานที่มีความซับซ้อน เช่น อุปกรณ์ที่ใช้จับและตักอาหาร หมุดย้ำโครงสร้างเรือ เป็นต้น (D' Elia and Ravindran, 2009, pp. 315-319)

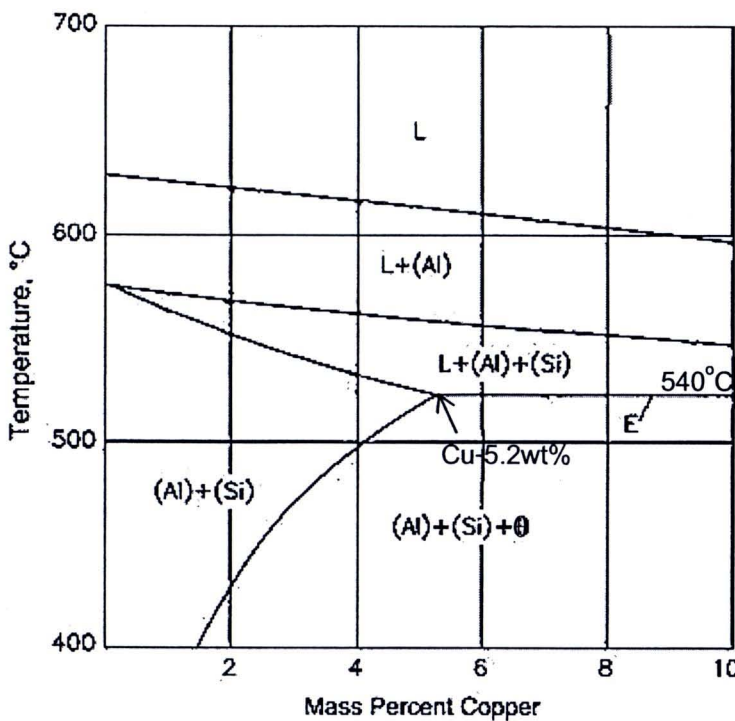
องค์ประกอบทางเคมีของโลหะผสมหล่ออะลูมิเนียม-ซิลิกอน-ทองแดง เก懦 เอก 319 แสดงดังตาราง 3 มักใช้ในอุตสาหกรรมผลิตส่วนเครื่องยนต์ เนื่องจากมีความแข็งแรงเชิงกลและความต้านทานการกัดกร่อนที่ดี แก๊สไฮโดรเจนละลายได้น้อย ส่งผลให้ผิวของชิ้นงานหล่อ มีความเรียบ滑 และมีราคาถูก (Martinez D., et al., 2005) ธาตุที่มักผสมในโลหะผสมนี้ เช่น แมกนีเซียม แมงกานีส สทรอนเซียม เชอร์โคเนียม และเหล็ก ซึ่งทำให้โลหะผสมมีความแข็งแรงทั้งในอุณหภูมิห้องและอุณหภูมิสูง แต่ความหนืดจะลดลง วิธีการปรับปรุงความหนืดประมาณ 0-3 เปอร์เซ็นต์ ทำได้โดยการเติมธาตุเพื่อให้เกิดสารประกอบโลหะของเฟส θ-(Al₂Cu) เฟส Mg₂Si เฟส π-(Al₈Mg₃FeSi₆) เฟส α-(Al₁₅(Mn,Fe)₃Si₂) และเฟส β-(Al₅FeSi) (Rincón, et al., 2007) จากภาพ 6 แสดงแผนภูมิสมดุลของโลหะผสมหล่อ Al-5Si-Cu จะเห็นว่าทองแดงสามารถละลายในสารละลายของแข็งของเฟส Al+Si ได้สูงสุดประมาณ 5.2 เปอร์เซ็นต์ ที่อุณหภูมิ 540 องศาเซลเซียส

ตาราง 3 องค์ประกอบทางเคมีของอะลูมิเนียมหล่อผสม เก懦 319

ธาตุ	Si	Cu	Fe	Zn	Mg	Mn	Ti	Ni	Al
Wt%	5.5-	3.0-	Max	Max	Max	Max	Max	Max	Bal.
	6.5	4.0	1.0	1.0	1.0	0.5	0.25	0.35	

ที่มา: Chandler, H. (2006, p. 252)

สำนักงานคณะกรรมการวิจัยแห่งชาติ
ห้องสมุดงานวิจัย
วันที่ 22 พฤษภาคม 2555
เลขทะเบียน..... 190718
เลขเรียกหนังสือ.....



ภาพ 6 แผนภูมิสมดุลของโลหะผสม Al-5Si-Cu

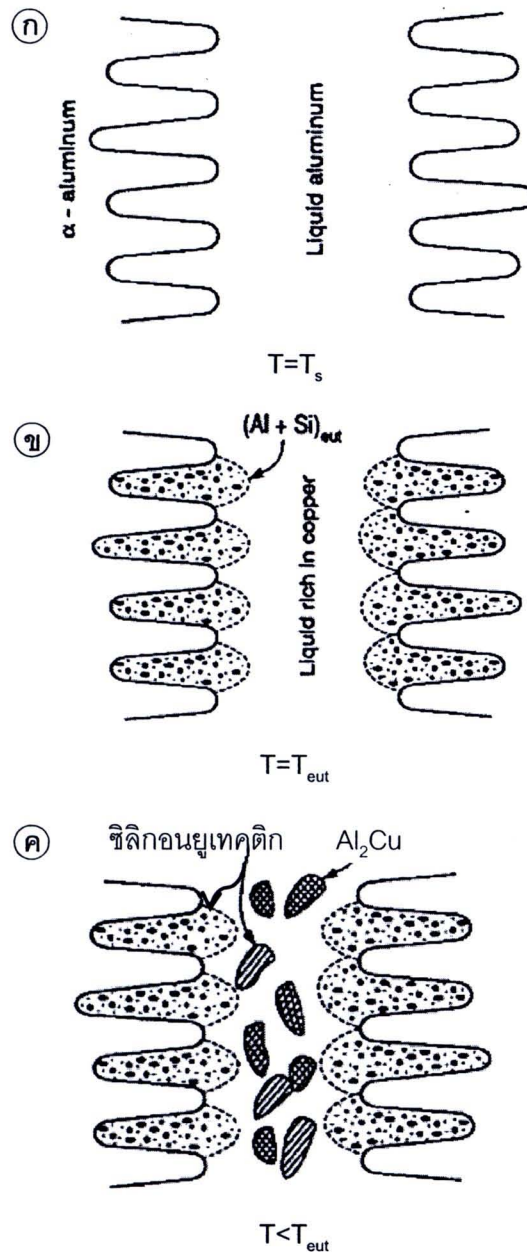
ที่มา: Raghavan, V. (2007, p. 181)

การแข็งตัวของอะลูมิเนียม เอ319 อธิบายไว้โดย Samuel, F. H., Samuel, A. M. and Doty, H. W. (1996, pp. 893-901) ดังภาพ 7 แสดงการแข็งตัวของอะลูมิเนียม เอ319 (Al-5.5-6.5Si-3.0-4.0Cu) โดยเริ่มจากเกิดเฟส α-Al เป็นโครงสร้างพื้นเมลักชณะเป็นเดนไดร์ทที่อุณหภูมิประมาณ 610 องศาเซลเซียส และดังภาพ 7(ก) โดยเดนไดร์ทนี้จะมีธาตุทองแดงและซิลิกอนผสมอยู่ได้เพียงเล็กน้อย จึงมีการผลักสองธาตุนั้นลงสู่บริเวณขอบระหว่างเดนไดร์ท เมื่ออุณหภูมิลดลงประมาณ 560 องศาเซลเซียส จะทำให้เกิดการรวมตัวกันเป็นเฟสซิลิกอนยูเทคติกที่มีรูปร่างห้องแบ็บเป็นแผ่นขนาดใหญ่หรือรูปร่างกลมมน ซึ่งขึ้นอยู่กับอัตราการเย็นตัว และเฟส Al_2Cu จะมีการแข็งตัวขึ้นที่อุณหภูมิประมาณ 520 องศาเซลเซียส ซึ่งมีรูปร่างกลมมนขนาดเล็กกว่าเฟสซิลิกอนยูเทคติก และดังภาพ 7(ข) ดังนั้นโครงสร้างจุลภาคในสภาพหล่อประกอบด้วยเดนไดร์ಥของ α-Al ล้อมรอบด้วยโครงสร้างยูเทคติกของเฟสซิลิกอนยูเทคติกที่มีรูปร่างเป็นแผ่นกลม และเฟส Al_2Cu มีรูปร่างกลม โดยทั้งสองเฟสของโครงสร้างยูเทคติกจะมีการรวมตัวกันอยู่ และมีความแข็งแรงต่ำ เปร

มีความเห็นว่า แม้ความเครียดสูง เป็นสาเหตุของการเกิดช่องว่างระดับไมโครอนหรือการแตกหัก ระดับอนุภาคภายในโครงสร้าง

Garcia-Hinojosa, J. A., et al. (2003, pp. 306-310) รายงานผลการศึกษาปริมาณ ร้อยละของรูพูนในโลหะผสมอะลูมิเนียม-ซิลิกอน และอะลูมิเนียม-ซิลิกอน-ทองแดง โดยปริมาณ ร้อยละของรูพูนในโลหะผสมอะลูมิเนียม-ซิลิกอน เป็น 1.5 เปอร์เซ็นต์ และลดลงเหลือน้อยกว่า 1 เปอร์เซ็นต์ โลหะผสมอะลูมิเนียม-ซิลิกอน-ทองแดง ทำให้มีสมบัติเชิงกลดีขึ้น

ตาราง 4 แสดงการเกิดเพศของสารละลายของแข็งที่คุณภาพต่างๆ ของโลหะผสม เกรด 319 ที่มีธาตุอื่นผสมของ Bäckerud, et al. ซึ่งรวมรวมข้อมูลโดย Martinez D., E. J. et al., (2005, pp. 439-443)



โดยที่ T_s คืออุณหภูมิการแข็งตัว และ T_{eut} คืออุณหภูมิขูมเทคติก

ภาพ 7 แผนภาพวงจรลำดับขั้นการแข็งตัวของอะลูมิเนียม เอ319 โดยที่ (ก) ลำดับที่ 1 การเกิดโครงสร้างเด่นไดร์ทของ α -Al (ข) ลำดับที่ 2 การเกิดเฟสชิลิกอนยูเทคติก(ค) ลำดับที่ 3 การรวมตัวกันของ α -Al กับชิลิกอนยูเทคติก และเกิดเฟส Al_2Cu

ตาราง 4 การเปลี่ยนเฟสระหว่างกระบวนการแข็งตัวของโลหะผสม เอ319 จากงานวิจัยของ Bäckerud, et al.

Bäckerud, et al.	อุณหภูมิ (องศาเซลเซียส)
(Al) Dendritic Network	609
Liq. \rightarrow (Al) + Al ₁₅ Mn ₃ Si ₂ + (Al ₅ FeSi)	590
Liq. \rightarrow (Al) + Si + Al ₅ FeSi	575
Liq. \rightarrow (Al) + Al ₂ Cu + Si + Al ₅ FeSi	525
Liq. \rightarrow (Al) + Al ₂ Cu + Si + Al ₅ Mg ₈ Cu ₂ Si ₆	507

ที่มา: Martínez D., E. J., et al. (2005, p. 440)

การเพิ่มความแข็งแรงด้วยวิธีการตกตะกอนของอนุภาค

การเพิ่มความแข็งแรงของโลหะอะลูมิเนียมผสมหล่อสามารถปรับปรุงได้หลายวิธี เช่น การเติมธาตุ การปรับขนาดของเกรนให้ละเอียดขึ้น (Grain Refining) การดัดแปลงโครงสร้าง (Modification) และการแก้ไขรูปรูน (Tash, 2006, pp. 207-217) แต่ส่วนใหญ่มักจะทำโดยการปรับสภาพด้วยความร้อน (Heat Treatment) โดยมีการกำหนดสัญลักษณ์ของกระบวนการทางความร้อนโดยสมาคมทดสอบวัสดุของอเมริกา (ASTM) ดังนี้

F โลหะหลังหล่อโดยไม่ผ่านการปรับสภาพด้วยความร้อน

O โลหะหลังการอบอ่อน (Annealing) หรือ T2 เพื่อลดความเครียดด้วยความร้อนและป้องกันการขยายตัวในขณะใช้งาน มีสมบัติต้านความเหนียวดี แต่ความต้านทานแรงดึงดีตามาก

T1 โลหะที่เย็นตัวภายในบรรยากาศปกติดินถึงอุณหภูมิห้องหลังจากการหล่อ จากนั้นนำไปทำการบ่มแข็งธรรมชาติ (Natural Aging) ซึ่งจะทำให้ได้สมบัติเชิงกลที่ดีกว่าวิธี F และ O

T4 โลหะชิ้นงานที่ผ่านการอบละลาย (Solution Treatment) แล้วทำให้เย็นตัวอย่างรวดเร็ว (Quench) หลังจากนั้นบ่มแข็งธรรมชาติ เพื่อให้ได้สมบัติความต้านทานแรงดึงดีที่ดี

T5 โลหะหลังบ่มแข็งเทียม (Artificial Aging) เพียงอย่างเดียว เพื่อป้องกันการขยายตัวของเกรน และเพิ่มความมีเสถียรภาพขนาดของโลหะผสม



T6 โลหะชิ้นงานที่ผ่านการอบละลาย แล้วทำให้เย็นตัวอย่างรวดเร็ว หลังจากนั้นนำมาบ่มแข็งเที่ยม ทำให้สมบูรณ์ความด้านทานแรงดึงสูงสุด โดยไม่สูญเสียสมบูรณ์การยึดตัว ทำให้โครงสร้างยูทेकติกที่รวมตัวอยู่กับสารประกอบโลหะสลายตัวลงสู่โครงสร้างพื้น ซึ่งทำให้ความแข็งเพิ่มขึ้น

T7 โลหะชิ้นงานที่ผ่านการอบละลาย แล้วทำให้เย็นตัวอย่างรวดเร็ว หลังจากนั้นนำมาบ่มแข็งเที่ยม เป็นเวลานาน (Over-aging) เพื่อให้สมบูรณ์การยึดตัวสูงขึ้น

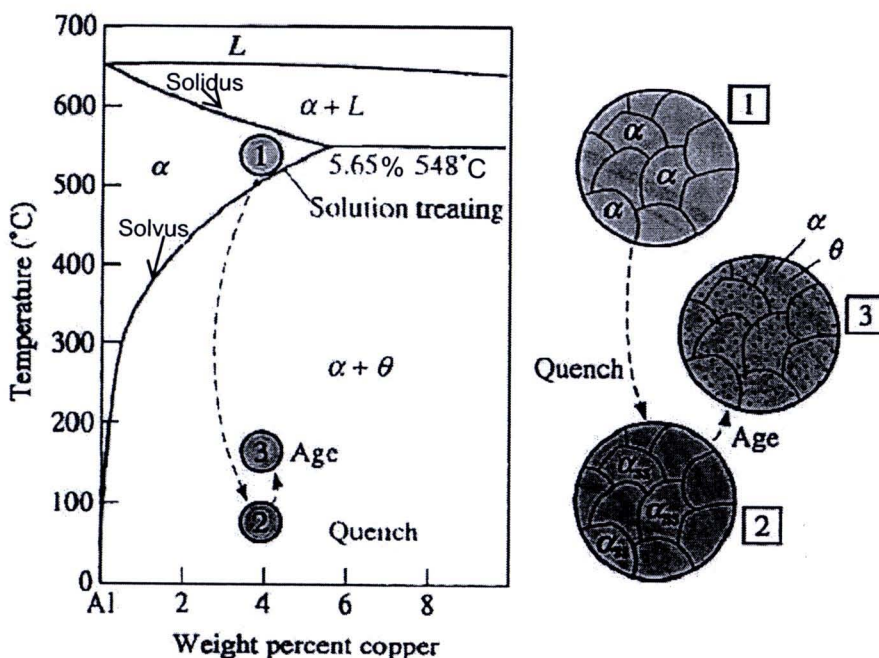
T1-T7 เป็นการเพิ่มความแข็งและความแข็งแรงด้วยวิธีการตกตะกอนของอนุภาคขนาดเล็ก (Precipitation Hardening) โดยโลหะผสมจะยอมให้ธาตุผสมละลายเป็นสารละลายของแข็งได้สูงสุดที่อุณหภูมิสูง เมื่ออุณหภูมิลดลงอย่างช้าๆ ปริมาณของธาตุผสมที่ละลายลงในโครงสร้างพื้นจะลดลงและละลายได้น้อยลงที่อุณหภูมิห้อง ทำให้ปริมาณของธาตุผสมที่เกินจุดอิ่มตัวรวมตัวกับธาตุผสมหลักในโครงสร้างพื้น เกิดเป็นสารประกอบหรือเฟสใหม่ตกรตะกอนอยู่ภายในโครงสร้างพื้น ซึ่งประกอบด้วย 3 ขั้นตอน ดังภาพ 8 ดีด

1. การอบละลาย (Solution Treating) ขั้นตอนนี้โลหะผสมที่ผ่านกระบวนการหล่อ จะถูกให้ความร้อนจนถึงอุณหภูมิที่อยู่ระหว่างเส้นโซลวัสและโซลิดัส หลังจากนั้นจะทิ้งไว้ที่อุณหภูมิที่เป็นเวลานาน ทำให้เกิดเป็นสารละลายของแข็ง (Solid Solution) โดยสารประกอบโลหะจะมีการสลายในเฟส α จนกลายเป็นเนื้อดีயากัน (Homogenization) ในทางเชิงพาณิชย์แล้วอุณหภูมิที่ใช้ในการอบละลายมักนี้อยู่กับส่วนผสมทางเคมี ซึ่งจะมีผลต่อความหนึ่งและความแข็งแรงของโลหะ (Chandler, 2006, p. 5) ข้อควรระวังในการอบละลายคือต้องใช้อุณหภูมิต่ำกว่าอุณหภูมิจุดยูทेकติก ซึ่งการอบละลายเหนืออุณหภูมิของยูทेकติกจะทำให้เกิดภาวะ Overheating ที่ทำให้มีการสลายของขอบเกรนมากเกินไปและมีการสูญเสียสมบูรณ์เชิงกล เช่น ความด้านทานแรงดึง ความหนึ่ง และความทนทานต่อการแตกหัก นอกจากนี้ยังควรใช้อุณหภูมิเหนือเส้นโซลวัส การอบละลายที่อุณหภูมิต่ำเกินไปจะเกิดภาวะ Underheating ทำให้การอบละลายไม่สมบูรณ์และความแข็งแรงต่ำ นอกจากนี้แล้วควรควบคุมเวลาที่ใช้ในขั้นตอนการอบละลายให้เหมาะสม ซึ่งมีผลต่อปริมาณการสลายของเฟสต่างๆ เพื่อให้ความแข็งและความแข็งแรงเพิ่มขึ้น และทำให้กลไกเป็นสารละลายของแข็งที่เป็นเนื้อดีယากันทั้งหมดก่อนการบ่มแข็ง (Black and Kohser, 2007, p. 94)

2. การทำให้เย็นตัวอย่างรวดเร็ว (Quenching) ในตัวกลาง เช่น ในน้ำหรือน้ำมัน ซึ่งนิยมใช้น้ำอุ่นที่อุณหภูมิ 65-80 องศาเซลเซียส ซึ่งเป็นการลดอัตราการเย็นตัวของโลหะ เนื่องจากการเย็นตัวเร็วเกินไปจะทำให้เกิดการแตกหักภายในเนื้อโลหะผสม หลังการเย็นตัวอย่างรวดเร็วจะได้สารละลายของแข็งอิ่มตัวยึงยวด (Supersaturated Solid Solution) ที่มีโครงสร้างบิดเบี้ยวไม่เป็น

จะเป็นการทำให้ความแข็งสูงขึ้น เนื่องจากมีความเครียดในโครงสร้างผลึก นอกจากนี้ยังช่วยปรับปรุงสมบัติความต้านทานการกัดกร่อนและการแตกหักได้ โดยที่เฟสของโลหะผสมชิ้นงานที่ผ่านการอบละลายจะอยู่ในสภาพเดียวกัน อย่างไรก็ตามสารละลายของแข็งที่มีปริมาณของธาตุผสมในอะลูมิเนียมสูงกว่าปริมาณที่จะมีได้ในสภาพสมดุล ดังนั้นมีอุณหภูมิหรือเวลาเปลี่ยนไปจะทำให้สารละลายของแข็งเปลี่ยนแปลงไปสู่ภาวะเสถียรทันที (Askeland, 1996, p. 256)

3. การบ่มแข็ง (Aging) และทำให้เย็นตัวอย่างรวดเร็ว ซึ่งเป็นขั้นตอนที่มีการเปลี่ยนสมบัติเชิงกลได้มากกว่าขั้นตอนการอบละลาย ซึ่งเป็นกระบวนการเพิ่มความแข็งและความแข็งแรงโดยการนำชิ้นงานที่ผ่านการอบละลายและทำให้เย็นตัวอย่างรวดเร็วจนถึงอุณหภูมิห้องในขั้นตอนที่ 1-2 นำมาทิ้งไว้ที่อุณหภูมิคงที่ค่านึง ถ้าใช้อุณหภูมิห้องจะเรียกว่า การบ่มแข็งธรรมชาติ (Natural Aging) กรณีใช้อุณหภูมิในการบ่มแข็งที่สูงกว่าอุณหภูมิห้องจะเรียกว่า การบ่มแข็งเทียม (Artificial Aging)

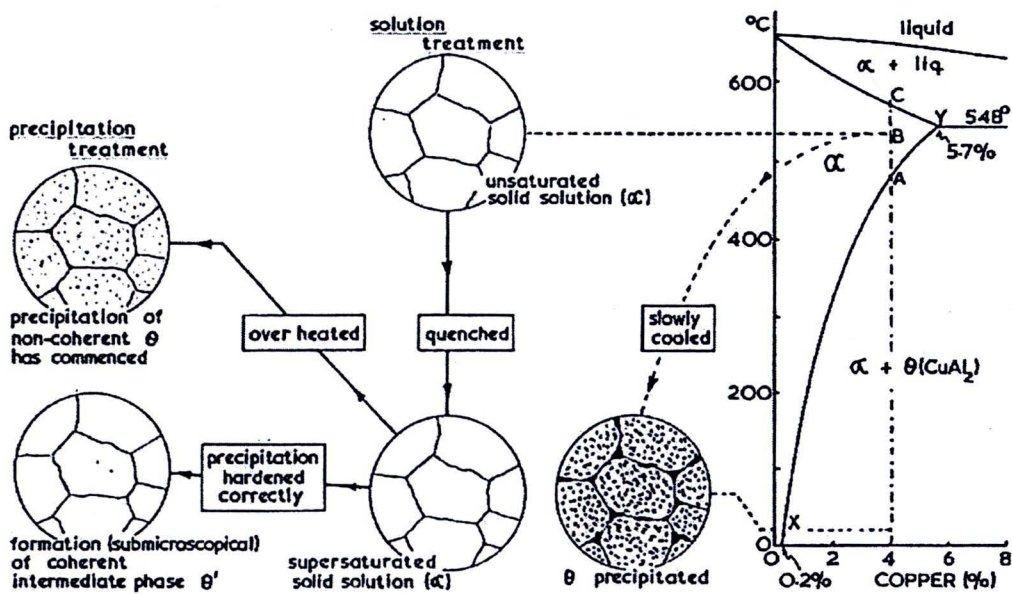


ภาพ 8 ขั้นตอนการเพิ่มความแข็งแรงโดยการตัดตอนของอนุภาคขนาดเล็กและ การเปลี่ยนแปลงโครงสร้างจุลภาค

การเปลี่ยนแปลงทางโครงสร้างของอนุภาคที่ตอกตะกอนของโลหะผสม Al-4Cu แสดงดังในภาพ 9 โดยในปรากฎการณ์ Precipitation Hardening อะลูมิเนียมจะยอมให้ทองแดงละลายได้สูงสุด 5.7 เพรอร์เซ็นต์ ที่อุณหภูมิ 548 องศาเซลเซียส โลหะผสมในสภาพหล่อที่ถูกปล่อยให้เย็นตัวอย่างช้าๆ ปริมาณของทองแดงจะละลายได้น้อยลงมากที่ 0.2 เพรอร์เซ็นต์ ที่อุณหภูมิห้องปริมาณทองแดงที่เกินจุดอิ่มตัวจะไปรวมอยู่กับอะลูมิเนียม ให้เพส 0 ที่มีขนาดใหญ่ ซึ่งโลหะผสมอะลูมิเนียม-ทองแดง ที่ผสมทองแดงต่ำกว่า 0.5 เพรอร์เซ็นต์ จะไม่สามารถเพิ่มความแข็งและความแข็งแรงด้วยการบ่มแข็งได้ เนื่องจากไม่ว่าจะอบโลหะผสมให้ร้อนแล้วทำให้เย็นตัวอย่างช้าๆ ก็จะไม่สามารถเกิดเปลี่ยนแปลงทางโครงสร้างได้ และหากโลหะอะลูมิเนียมที่ผสมทองแดงมากกว่า 5.7 เพรอร์เซ็นต์ การบ่มแข็งจะทำให้ได้ค่าความแข็งและความแข็งแรงต่ำกว่าโลหะผสมที่ผสมทองแดงใกล้จุดสูงสุดที่ทองแดงละลายได้ในสารละลายของแข็ง ส่วนโลหะผสมหลังผ่านการอบละลายแล้ว ทำให้เย็นตัวอย่างรวดเร็ว ทำให้เป็นสารละลายของแข็งอิ่มตัวยิ่งขึ้น แล้วนำไปบ่มแข็งที่อุณหภูมิที่เหมาะสม จะทำให้เกิดตอกตะกอน θ' ที่มีขนาดที่เหมาะสมระดับนาโนเมตร ซึ่งเป็นตะกอนแบบ Coherency แต่หากนำไปบ่มแข็งที่อุณหภูมิสูงเกินไป จะทำให้เกิดตะกอน 0 ที่เป็นตะกอนแบบ Non-coherency

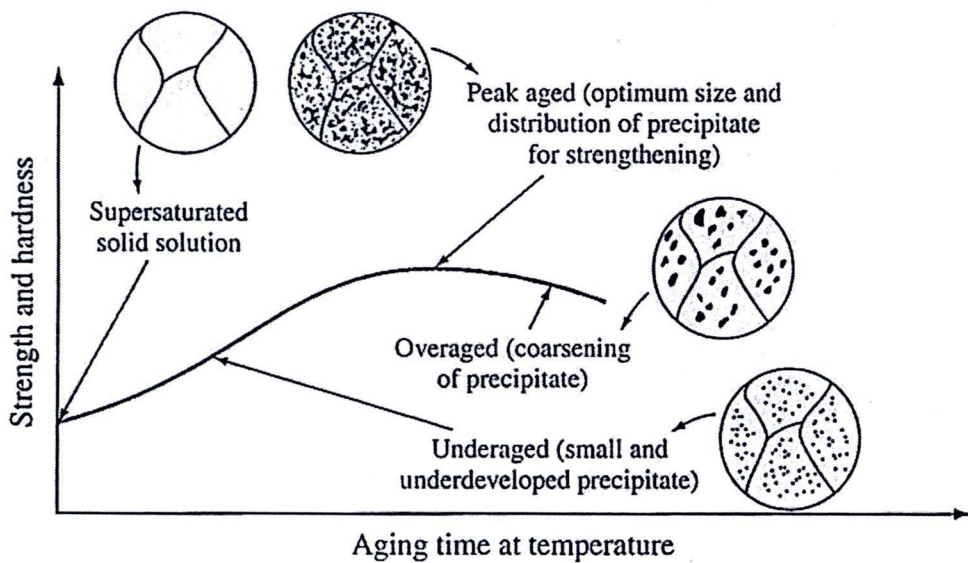
ผลของเวลาในการบ่มแข็งที่อุณหภูมิคงที่ต่อความแข็งและความแข็งแรงของชิ้นงานที่ผ่านการอบละลาย และลักษณะการตอกตะกอนของอนุภาค ดังภาพ 10 แบ่งออกเป็น 3 ช่วง โดยช่วงแรกเป็นการบ่มแข็งที่เวลาัน้อยจะทำให้ความแข็งและความแข็งแรงต่ำ เรียกว่า Under-aged ซึ่งอนุภาคที่ตอกตะกอนมีขนาดเล็ก เมื่อเวลาในการบ่มแข็งเพิ่มขึ้นทำให้ความแข็งและความแข็งแรงเพิ่มขึ้น จนถึงช่วงที่ 2 จะมีความแข็งและความแข็งแรงสูงสุด เรียกว่า Peak-aged ซึ่งอนุภาคที่ตอกตะกอนมีขนาดที่พอเหมาะสมและมีการกระจายตัวอย่างสม่ำเสมอ หลังจากนั้นเมื่อเวลาในการบ่มแข็งเพิ่มขึ้นจากช่วงนี้ ความแข็งและความแข็งแรงจะลดลงในช่วงที่ 3 เรียกว่า Over-aged ซึ่งอนุภาคที่ตอกตะกอนมีขนาดใหญ่เกินไป (Black and Kohser, 2007, pp. 93-96)

การเลือกใช้อุณหภูมิและเวลาในการบ่มแข็งต้องพิจารณาจากส่วนผสมทางเคมีของโลหะผสม ซึ่งจะมีผลต่อการตอกตะกอนของอนุภาค หากการบ่มแข็งที่อุณหภูมิต่ำเกินไปและเวลาัน้อยเกินไป ทำให้การเพิ่มความแข็งและความแข็งแรงไม่ได้ผลตามต้องการ (ชาลิต เศียงกุล, 2542, หน้า 169-172)



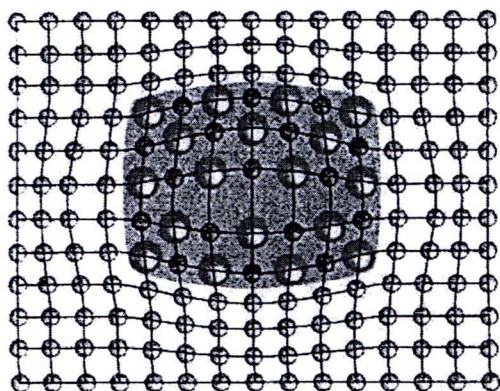
ภาพ 9 ลักษณะการตกตะกอนของอนุภาคของโลหะผสม Al-4Cu

ในแต่ละสภาวะต่างๆ

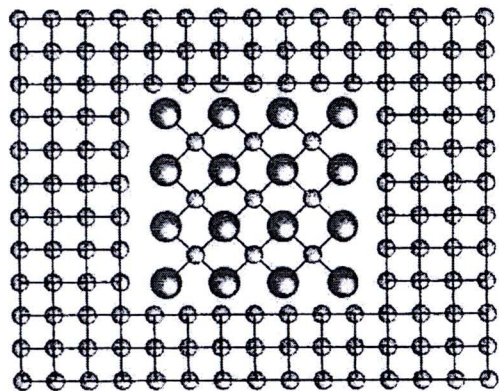


ภาพ 10 ผลของเวลาในการบ่มแข็งต่อความแข็งและความแข็งแรง และลักษณะการตกตะกอน

ในขณะที่บ่มแข็งจะเกิดปรากฏการณ์ Age Hardening หรือความแข็งที่เกิดจากการบ่มแข็ง เนื่องจากเกิดการบิดเบี้ยวของโครงผลึก ทำให้การเกิด Coherency ของอนุภาคขนาดเล็กที่ตกลงกันในโครงสร้างพื้น ดังภาพ 11(ก) โดยมีพลังงานบนพื้นผิวและพลังงานความเครียดระหว่างอนุภาคที่ตกลงกันและโครงสร้างพื้น มีค่าสูงเนื่องจากกระบวนการเกิดอนุภาคที่ตกลงกัน ซึ่งจะไปขัดขวางการเคลื่อนที่ของดิสโลเกชัน (Dislocation) เมื่อถูกแรงภายนอกมากระทำ ส่งผลให้ลดละผลสมมีความแข็งและความแข็งแรงเพิ่มขึ้น อย่างไรก็ตามการบ่มแข็งที่อุณหภูมิสูงเกินไปและเวลานานเกินไปจะเกิดสภาพที่เรียกว่า Over-aging ทำให้เกิด Non-coherency หรือตกลงกันไม่ขนาดใหญ่และจับตัวกันเป็นกลุ่มก้อน ดังภาพ 11(ข) ซึ่งความแข็งที่เพิ่มขึ้นจะเริ่มลดลง เนื่องจากพลังงานบนพื้นผิวและพลังงานความเครียดระหว่างอนุภาคที่ตกลงกันและโครงสร้างพื้นลดลง (Black and Kohser, 2007, pp. 95-96)



(ก)

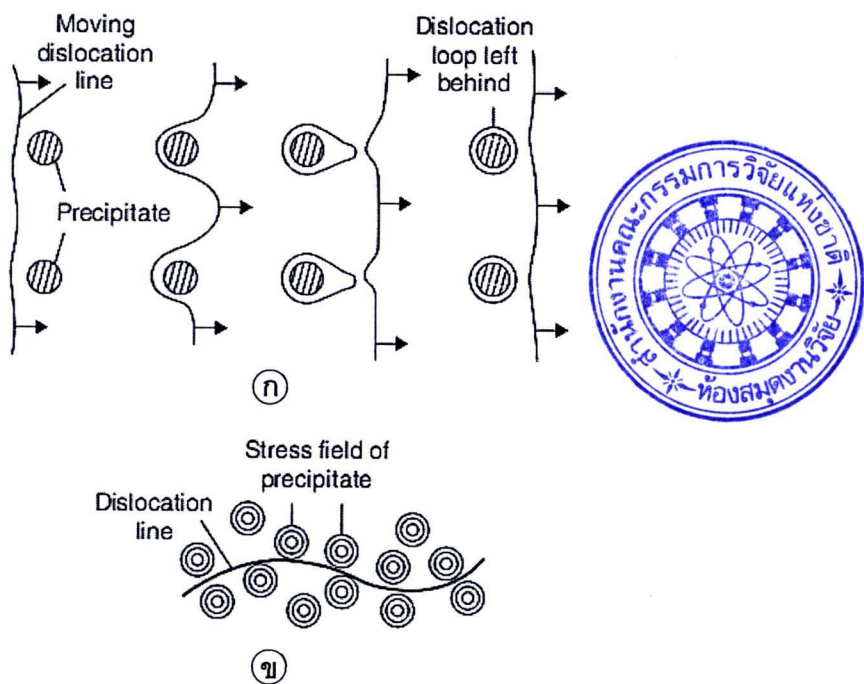


(ข)

ภาพ 11 การตกลงกันของอนุภาคขนาดเล็ก (Precipitate Phases) (n) Coherent Forms และ (x) Non-coherent Forms

ที่มา: Black, J. T. and Kohser, R. A. (2007, p. 95)

การเคลื่อนที่ของดิสโลเกชันเป็นการเคลื่อนที่ของแรงเดันอิสระที่เป็นไปตามกระบวนการทางความร้อนที่ขึ้นอยู่กับขนาดของอนุภาคที่ตกลงกัน โดยพัฒนาของดิสโลเกชันที่ใช้ในการเคลื่อนที่แบบตามพื้นที่ผิวสัมผัสระหว่างตะกอนและเมทริกซ์ ดิสโลเกชันที่เคลื่อนที่ผ่านอนุภาคที่มีขนาดใหญ่ ที่อยู่ในสภาพ Non-coherent จะใช้พลังงานต่ำ ดังภาพ 12(ก) ซึ่งดิสโลเกชันสามารถเคลื่อนที่ผ่านช่องว่างระหว่างตะกอนได้โดย จึงทำให้โลหะผสมมีความแข็งแรงต่ำ ส่วนตะกอนที่มีขนาดเล็ก ดังภาพ 12(ข) จะมีพื้นที่ผิวสัมผัสระหว่างอนุภาคและโครงสร้างพื้นมาก ถ้าตะกอนจะมีลักษณะเป็น Coherent Forms จะทำให้ดิสโลเกชันต้องใช้พลังงานสูงในการเคลื่อนที่ โดยจะต้องเบนตัวเป็นเส้นโค้งตามแนวของสนามความเดันของอนุภาคนั้นๆ เพื่อหลบเลี่ยงสนามความเดันที่เป็นรัศมนีมากกว่า ดังนั้นตะกอนที่มีขนาดเล็กและมีสนามความเครียดจึงทำให้โลหะผสมมีความแข็งแรงมากกว่าตะกอนที่มีขนาดใหญ่ (Smallman and Ngan, 2007, pp. 386-388)



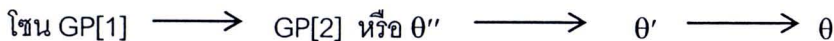
ภาพ 12 การเคลื่อนที่ของดิสโลเกชัน (ก) การเคลื่อนที่ผ่านช่องว่างระหว่างตะกอน (ข) การเคลื่อนที่เป็นเส้นโค้งตามสนามความเดันของตะกอน

ที่มา: Smallman, R. E. and Ngan, A. H. W. (2007, p. 387)

การตกลงกันของอนุภาคในโลหะสมออะลูมิเนียม-ทองแดง

การเพิ่มความแข็งแรงของโลหะสมออะลูมิเนียม-ทองแดง โดยเริ่มแรกของการบวนการตกลงกันจะทำให้ความแข็งแรงเพิ่มขึ้นจากในสภาพหล่อ แม้ว่าอนุภาคที่ตกลงกันจะไม่สามารถมองเห็นได้ แต่จะมีความแข็งแรงเพิ่มขึ้นจนถึงค่าสูงสุด หลังจากนั้นจะมีลดลงโดยไม่มีการเปลี่ยนแปลงทางโครงสร้างผลึก การบ่มแข็งที่อุณหภูมิต่ำจะเกิดการจัดกลุ่มของอะตอมของตัวถูกละลายกับตัวทำละลายในโครงผลึก เป็นตะกอนที่มีลักษณะ Coherent กับโครงสร้างพื้น โดยโซนหรือแนวระนาบจะไม่สามารถมองเห็นได้ด้วยจุลทรรศนศาสตร์ (Black and Kohser, 2007, p. 94)

การบ่มแข็งในอะลูมิเนียม-ทองแดง ทำให้เกิดตกลงกันของอนุภาคขนาดเล็กของ $\theta\text{-Al}_2\text{Cu}$ ภายในโครงสร้างพื้น โดยมีลำดับการตกลงกันตามที่ Smallman, R. E. and Ngan, A. H. W. (2007, pp. 397-399) รายงานไว้ดังนี้



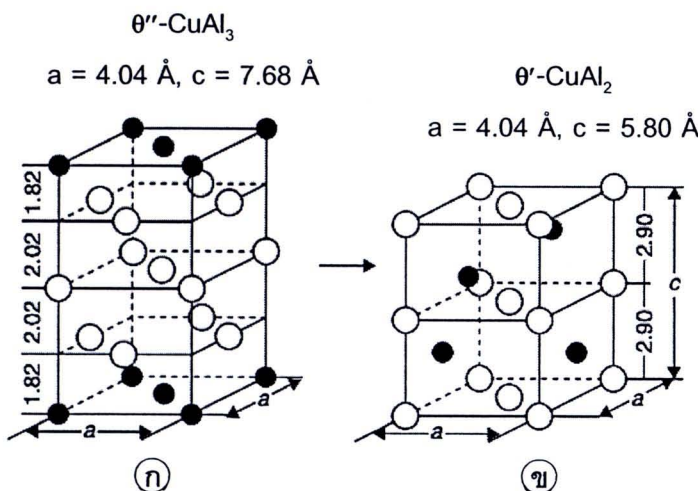
โดยช่วงแรกของการบ่มแข็งจะเกิดโซน GP[1] ซึ่งเป็นการรวมตัวกันของอะตอมของทองแดงบนระนาบ {100} ของ $\alpha\text{-Al}$ โดยมีรูปร่างเป็นแผ่น (Plate-like) มีความหนาเทียบเท่ากับระยะห่างระหว่างระนาบอะตอม และมีความยาวประมาณ 10 นาโนเมตร เมื่อถ่ายภาพกล้องจุลทรรศนศาสตร์จะเห็นเป็นเส้นมีดและสว่างเรืองตัวคลบกัน ในบางบริเวณจะมีการเกิดความเครียดขึ้นรอบๆ โซน ทำให้ความแข็งเพิ่มขึ้น

เมื่อเวลาที่ใช้ในการบ่มแข็งนานขึ้น โซน GP[1] จะขยายลงสู่เมทริกซ์ หลังจากนั้นจะมีการเกิดผลึกใหม่เกิดขึ้นเป็นโซน GP[2] หรือเฟส θ'' มีโครงสร้างผลึกแบบเตต拉ゴโนอล (Tetragonal) โดยมีค่าคงที่โครงผลึก $c = 0.78$ นาโนเมตร ซึ่งต่างจากอะลูมิเนียม (0.404 นาโนเมตร) โดยผลึกของเฟส θ'' มีการโตในแนวแกน c จึงทำให้โครงสร้างของ $\alpha\text{-Al}$ บิดเบี้ยว จากสนานความเครียดระหว่างการโตของผลึกที่มีการยืดตัวของโครงผลึกของเฟส θ'' กับโครงสร้างพื้น สงผลทำให้เกิดความเครียดรอบๆ เฟส θ'' ทำให้เกิดสภาพ Coherency โลหะสมออะลูมิเนียมจะมีความแข็งและความแข็งแรงมีค่าสูงสุด โดยอนุภาคที่ตกลงกันจะมีความหนาสูงสุดประมาณ 10 นาโนเมตร และมีความยาวมากกว่า 150 นาโนเมตร

หลังจากนั้นเกิดการเปลี่ยนเฟส θ'' เป็นเฟส θ' แสดงดังภาพ 13 ที่มีโครงสร้างผลึกแบบเตต拉ゴโนอล โดยมีค่าคงที่โครงผลึก $a = 0.404$ และ $c = 0.58$ นาโนเมตร ที่มีการโตตามโครงสร้างพื้นในแนวระนาบ $<100>_{\text{Al}}$ พลังงานความเครียดรอบๆ อนุภาค θ' จะถูกปลดปล่อย จะ

ปราภูติสโลเกชันมีลักษณะเป็น Loop อยู่รอบๆ อนุภาค θ' ที่มีขนาดเล็กๆ เมื่อถ่ายภาพกล้องจุลทรรศนศาสตร์อิเล็กตรอน จะพบว่า สนานความเครียดของอนุภาคและดิสโลเกชันขนาดใหญ่จะลดลงในช่วงนี้ ดังนั้นจึงทำให้ดิสโลเกชันสามารถเดินที่ได้ง่ายขึ้น เมื่อรับแรงภายนอกจะทำ โดยส่งผลทำให้ความแข็งลดลง

ในช่วงสุดท้ายเฟส θ' จะเปลี่ยนเป็นเฟส θ ที่มีโครงสร้างผลึกแบบเตตราหินออล โดยมีค่าคงที่ โครงผลึก $a = 4.04 \text{ \AA}$, $c = 7.68 \text{ \AA}$ ซึ่งมีสถานะเป็น Non-coherent กับโครงสร้างพื้น และมีการเปลี่ยนรูปได้เสมอเมื่อได้รับแรงกระทำภายนอก จึงทำให้ในขณะมีค่าความแข็งลดลง เนื่องจากสนานความเครียดระหว่างเฟสของอนุภาคที่ตกลงกันกับโครงสร้างพื้นหายไป หรือที่เรียกว่ามีลักษณะเป็น Non-coherency



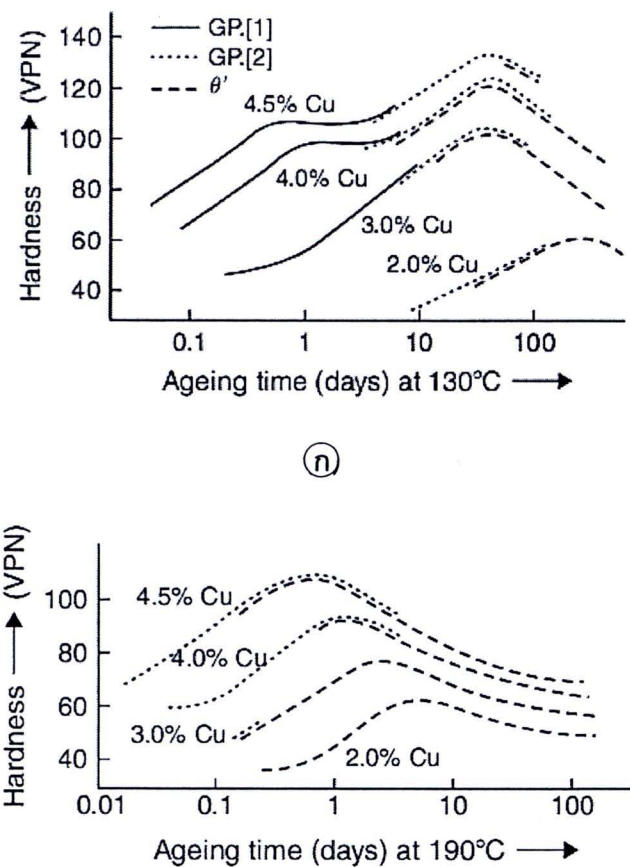
โดยที่ ● คืออะตอมของอะลูมิเนียม และ ○ คืออะตอมของทองแดง

ภาพ 13 แผนภาพการเปลี่ยนรูปโครงสร้างผลึกของ θ'' เป็น θ' ในโลหะสมอะลูมิเนียม-ทองแดง โดยกลไกของช่องว่าง

ที่มา: Smallman, R. E. and Ngan, A. H. W. (2007, p. 402)

การเปลี่ยนแปลงทางโครงสร้างของโลหะผสมอะลูมิเนียม-ทองแดง หลังผ่านกระบวนการทางความร้อน โดยการอบละลายและตามด้วยการบ่มแข็งที่อุณหภูมิต่ำที่ 130 องศาเซลเซียส แสดงดังภาพ 14(ก) จะทำให้เกิดการแตกตะกอนของจีพีโซนหนึ่ง เมื่อบ่มแข็งเป็นเวลานานขึ้นจะทำให้เกิดตะกอนของจีพีโซนสอง จะทำให้ความแข็งมีค่าสูงขึ้นจนถึงค่าสูงสุด ในขณะเดียวกันก็จะเริ่มเปลี่ยนเป็นเฟส θ' อยู่ในช่วงสุดท้ายของการบ่มแข็ง ซึ่งความแข็งจะลดลง โดยโลหะผสมที่ผสมทองแดงมากกว่า 4 เปอร์เซ็นต์ จะได้ค่าความแข็งสูงสุดอยู่ในช่วงจีพีโซนสอง โลหะผสมที่ผสมทองแดงเท่ากับ 3-4 เปอร์เซ็นต์ จะได้ค่าความแข็งสูงสุดอยู่ในช่วงการเปลี่ยนจีพีโซนสองเป็นเฟส θ' ส่วนโลหะผสมที่ผสมทองแดงน้อยกว่า 3 เปอร์เซ็นต์ จะได้ค่าความแข็งสูงสุดอยู่ในช่วงของเฟส θ' นอกจากนี้โลหะผสมที่ผสมทองแดงมากกว่า 4 เปอร์เซ็นต์ จะทำให้ได้ค่าความแข็งสูง 2 ค่า คือ ช่วงของการเกิดจีพีโซนหนึ่งและจีพีโซนสอง อย่างไรก็ตามช่วงจีพีโซนสองจะให้ค่าความแข็งสูงที่สุด และโลหะผสมที่ผสมทองแดง 2 เปอร์เซ็นต์ จะไม่พบการเกิดจีพีโซนหนึ่ง

ส่วนการอบละลายและตามด้วยการบ่มแข็งที่อุณหภูมิสูงที่ 190 องศาเซลเซียส ดังภาพ 14(ข) จะไม่มีการเกิดจีพีโซนหนึ่ง เมื่อบ่มแข็งเป็นเวลานานขึ้นทำให้ความมีค่าสูงขึ้นจนถึงค่าสูงสุด เพียงค่าเดียว ในโลหะผสมที่ผสมทองแดงมากกว่าหรือเท่ากับ 4 เปอร์เซ็นต์ จะได้ค่าความแข็งสูงสุดอยู่ในช่วงการเปลี่ยนจากจีพีโซนสองเป็นเฟส θ' แต่ในโลหะผสมที่ผสมทองแดงน้อยกว่า 4 เปอร์เซ็นต์ จะได้ค่าความแข็งสูงสุดอยู่ในช่วงของการเกิดเฟส θ' (Smallman and Ngan, 2007, pp. 386-388)



ภาพ 14 การเปลี่ยนแปลงโครงสร้างของโลหะผสมอะลูมิเนียม-ทองแดง ชิ้นงานที่ผ่านการอบละลายและตามด้วยการบ่มแข็ง (ก) ที่อุณหภูมิ 130 องศาเซลเซียส (ข) ที่อุณหภูมิ 190 องศาเซลเซียส

ที่มา: Smallman, R. E. and Ngan, A. H. W. (2007, p. 387)

งานวิจัยที่เกี่ยวข้อง

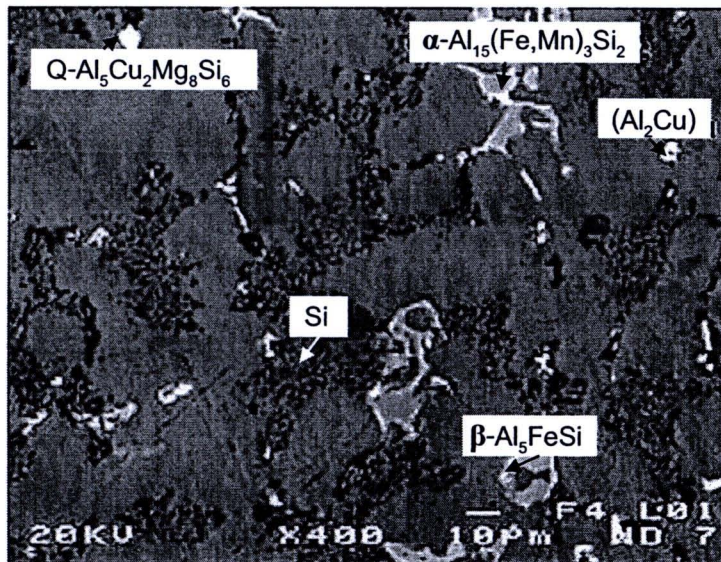
Kaufman, J. G. and Rooy, E. L. (2004, p. 65) รายงานว่าการปรับสภาพด้วยความร้อนของโลหะสมออะลูมิเนียม-ซิลิกอน-ทองแดง ในขั้นตอนการอบละลายที่อุณหภูมิสูงจะทำให้เกิดการสลายตัวของสารประกอบของทองแดงและซิลิกอนในโครงสร้างพื้น และทำให้โครงสร้างซิลิกอนยูเทคติกมีลักษณะกลมมนขึ้น ส่วนเฟส Al_2Cu ที่แยกตัวอยู่หรือรวมตัวกันเป็นกลุ่ม หรือรวมอยู่กับเฟสยูเทคติก จะมีรูปร่างกลมที่มีขนาดเล็กลง

Ovono, D. O., Guillot, I. and Massinon, D. (2006, pp. 259-262) ได้ศึกษาโครงสร้างจุลภาคและพลังงานจลน์ของอนุภาคที่ตัดตะกอนในอะลูมิเนียมผสมหล่อ เอ319 หลังการปรับสภาพด้วยความร้อนแบบ T5 โดยอบละลายที่อุณหภูมิ 490 องศาเซลเซียส และตามด้วยการบ่มแข็งที่อุณหภูมิ 100-320 องศาเซลเซียส เป็นเวลาต่างๆ พบว่าโครงสร้างจุลภาคที่ผ่านการปรับสภาพด้วยความร้อนประกอบด้วยเดนไครท์ของเฟส α - Al ล้อมรอบด้วยเฟสซิลิกอนยูเทคติกที่มีรูปร่างเป็นแผ่นและสารประกอบโลหะของเฟส θ -(Al_2Cu), α - $\text{Al}_{15}(\text{Fe},\text{Mn})_3\text{Si}_2$, Q- $\text{Al}_5\text{Cu}_2\text{Mg}_8\text{Si}_6$ และเฟส β -(Al_5FeSi) ดังแสดงในภาพ 15 หลังการปรับสภาพด้วยความร้อน พลังงานจลน์มีค่าประมาณ $140.4 \text{ kJ/mol}^{-1}$ ซึ่งเป็นค่าที่ประมาณการแพรวร่องธาตุ Cu และ/หรือธาตุ Si ใน Al ที่แสดงถึงอัตราการโดยของอนุภาค ซึ่งงานที่ผ่านการอบละลายและตามด้วยการบ่มแข็งทำให้เกิดการตัดตะกอนของเฟส θ' เฟส Q- $\text{Al}_5\text{Cu}_2\text{Mg}_8\text{Si}_6$ และเฟส Si ในรูปแบบ $[111]_{\text{Al}}$ นอกจากนี้ยังพบว่าการบ่มแข็งที่อุณหภูมิต่ำกว่า 200 องศาเซลเซียส เป็นช่วงการโดยของเฟส θ' เฟส Q และเฟส Si ที่มีสถานะเป็น Semi-coherent โดยมีขนาดใหญ่ขึ้นจาก 18.2 นาโนเมตร เป็น 30.9 นาโนเมตร โดยการบ่มแข็งที่อุณหภูมิสูงขึ้นทำให้ขนาดของอนุภาคที่ตัดตะกอนมีขนาดใหญ่ขึ้น ซึ่งในช่วงสุดท้ายของการบ่มแข็ง ตะกอนจะเปลี่ยนเป็นเฟส θ เฟส Q และเฟส Si ในรูปแบบ $[001]_{\text{Al}}$ ที่อยู่ในสถานะ incoherent และมีขนาดใหญ่กว่า 107 นาโนเมตร

Ovono, D. O. , Guillot, I. and Massinon, D. (2007, pp. 241-246) ได้ศึกษาอะลูมิเนียมผสมหล่อ เอ319 ด้วย TEM และ DSC พบร่วมหาดการปรับสภาพด้วยความร้อน แบบ T5 มีการตัดตะกอนของเฟส θ' ในโครงสร้างพื้น มีรูปร่างเป็นแผ่นยาว มีความหนาประมาณ 10-15 นาโนเมตร และยาวประมาณ 50-100 นาโนเมตร ดังภาพ 16(ก) ตะกอนของเฟส θ -(Al_2Cu) มีโครงผลึกแบบเตตรากอนอล ค่าพารามิเตอร์ $a = 0.04077$ นาโนเมตร และ $c = 0.581$ นาโนเมตร ในทิศ $(001)_\theta$ ที่นานกับรูปแบบ $[001]_{\text{Al}}$ ดังภาพ 16(ข) อย่างไรก็ตามยังปรากฏตะกอนของเฟส θ เฟส Q และเฟส Si ในสถานะ incoherent หลังการบ่มแข็งที่อุณหภูมิ 320 องศาเซลเซียส เป็นเวลา 100 ชั่วโมง ดังภาพ 16(ค) ส่วนผลการศึกษาการเปลี่ยนแปลงเฟสด้วย DSC อุณหภูมิ 100-600 องศา

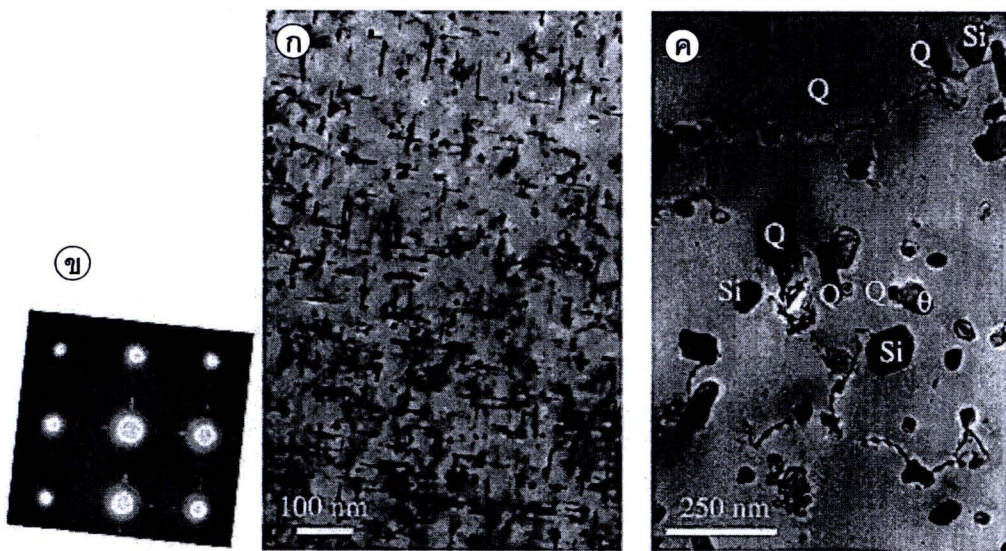
เซลเซียส ด้วยอัตราการเพิ่มความร้อน 20 องศาเซลเซียสต่อนาที แสดงดังตาราง 5 พบว่า เกิดปฏิกิริยาการเปลี่ยนเฟสที่อุณหภูมิต่างๆอยู่ 6 จุด ประกอบด้วยปฏิกิริยาความร้อน 1 จุด ที่ อุณหภูมิ 243 องศาเซลเซียส และปฏิกิริยาดูดความร้อน 5 จุด ที่ อุณหภูมิ 507, 519, 537, 548 และ 573 องศาเซลเซียส

Ammar, H. R., Samuel, A. M. and Samuel, F. H. (2008 pp. 65-75) ได้ศึกษา โครงสร้างจุลภาคของอะลูมิเนียมพสม เอ319 (Al -7.50Si-3.52Cu-0.36Mg-0.019Mn) ในสภาพ หล่อ พบว่าโครงสร้างจุลภาคประกอบด้วยเดนไดร์ทของ α - Al ที่ล้อมรอบด้วยซิลิกอนยูเทคติกและ สารประกอบโลหะของเฟส α - $Al_{12}(MnCuFe)_3Si_2$, เฟส $Al_8Mg_8Cu_2Si_6$ และเฟส Al_2Cu



ภาพ 15 ภาพถ่ายด้วยกล้องจุลทรรศน์อิเล็กตรอนของโลหะอะลูมิเนียมพสม เอ319
ที่ผ่านการปรับสภาพทางความร้อน แบบ T5

ที่มา: Ovono, D. O., Guillot, I. and Massinon, D. (2006, p. 206)



ภาพ 16 ภาพถ่ายของอะลูมิเนียม เอ319 (ก) ด้วย Bright-field TEM (แกนโพไซน์ [001]_{Al})
(ข) แบบรูปการเลี้ยวบนอิเล็กตรอน และ (ค) ภาพถ่าย TEM หลังการบ่มแม็ง
ที่อุณหภูมิ 320 องศาเซลเซียส เป็นเวลา 100 ชั่วโมง

ที่มา: Ovono, D. O., Guillot, I. and Massinon, D. (2007, p. 243)

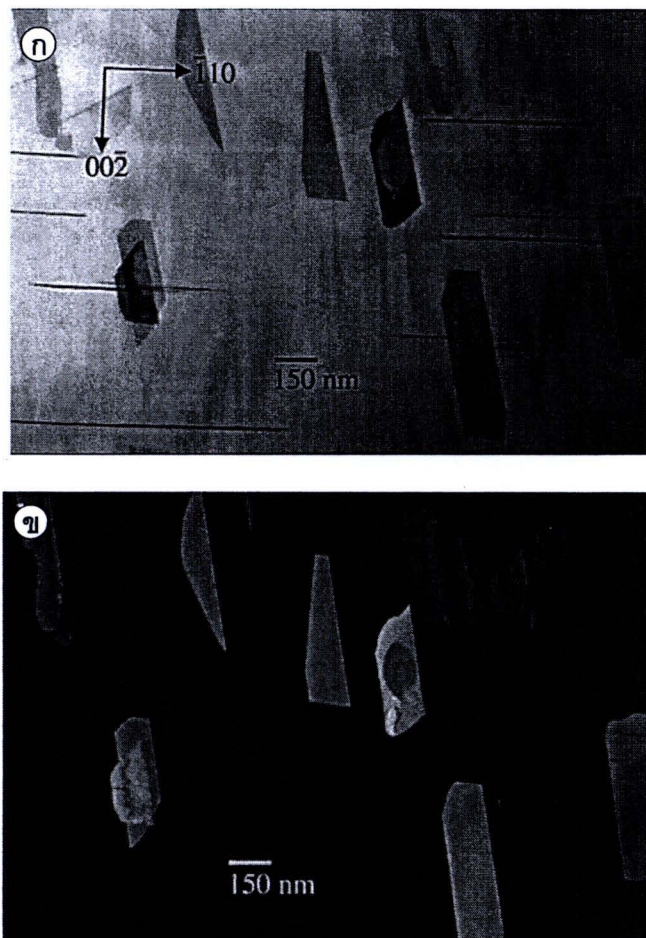
ตาราง 5 ผลการวิเคราะห์ด้วย DSC ของ Ovono, D. O., Guillot, I. and Massinon, D.

อุณหภูมิ	สิ่งที่เกิดขึ้น
243	การเปลี่ยนอนุภาคของเฟส θ' \rightarrow θ
507	การสลายตัวของเฟส $Al_5Mg_8Cu_2Si_6$
519	การสลายตัวของเฟส Al_2Cu
537	การสลายตัวของเฟส $\alpha-Al_{15}(Fe,Mn)_3Si_2$
548	การสลายตัวของเฟส $\beta-Al_5FeSi$
573	การสลายตัวของเฟสซิลิกอนยูเทคติก

ที่มา: Ovono, D. O.; Guillot, I. and Massinon, D. (2007, p. 244)

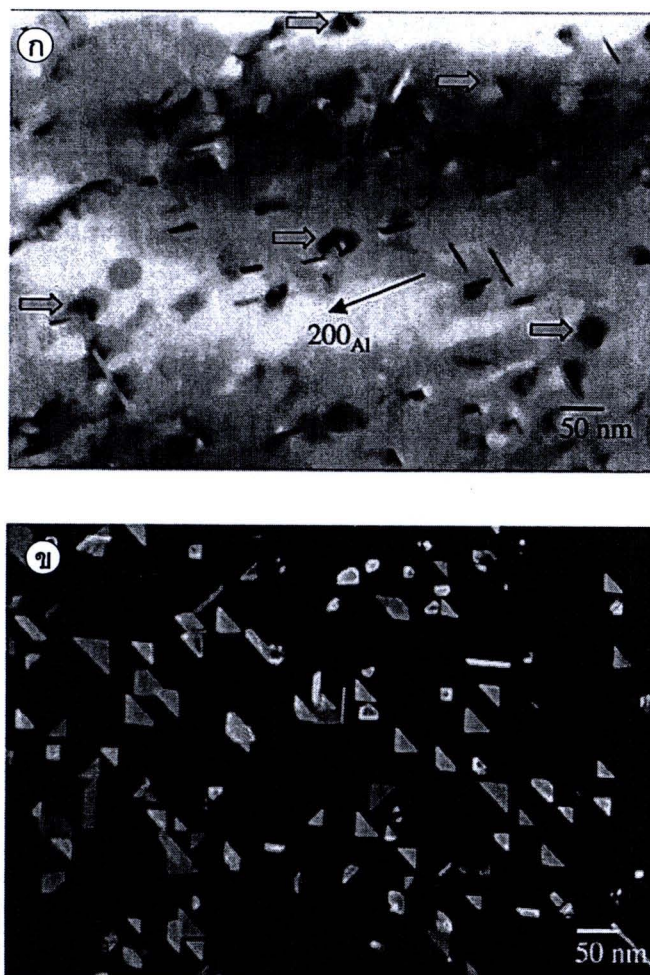
Mitlin, D., Radmilovic, V. and Morris, J. W. (1999, pp. 2000-2697) ศึกษาอนุภาคที่แตกต่างกันของโลหะผสม Al-2Cu, Al-1Si และ Al-2Cu-1Si โดยบ่มแข็งที่อุณหภูมิ 225 องศาเซลเซียส เป็นเวลา 10 นาที 6, 24 และ 48 ชั่วโมง และให้เย็บตัวในอากาศ พบร่วางในโลหะผสม Al-2Cu หลังการบ่มแข็งที่อุณหภูมิ 225 องศาเซลเซียส เป็นเวลานาน 6 ชั่วโมง เริ่มนีการทดลองของเฟส θ' ที่มีรูปร่างเป็นเส้น ดังภาพ 17 ส่วนในโลหะผสม Al-1Si พบร่วางเกิดตะกอนของเฟส Si อย่างรวดเร็ว หลังการบ่มแข็งที่อุณหภูมิ 225 องศาเซลเซียส เป็นเวลานานเพียง 10 นาที ตะกอนมีรูปร่างไม่แน่นอน ซึ่งอาจเป็นหònหรือเป็นแท่งยาว และกระจายตัวอยู่ทั่วไปบน α-Al เมทริกซ์ ดังภาพ 18 นอกจากนี้ยังพบตะกอนที่มีความเครียดสูงกับโครงสร้างพื้น สำหรับโลหะผสม Al-2Cu-1Si พบร่วางจะเกิดตะกอนของเฟส θ' และเฟส Si ดังภาพ 19 เมื่อเปรียบเทียบเฟส θ' ในโลหะผสม Al-2Cu-1Si และ Al-2Cu พบร่วามีขนาดเล็กและกระจายตัวอย่างหนาแน่นกว่า ส่วนเฟส Si ซึ่งไม่มีส่วนผสมของ Cu จะมีขนาดใหญ่และการกระจายตัวไม่หนาแน่น ส่วนใหญ่จะมีรูปร่างเป็นแผ่นและห้อนทับกันเป็นคู่ ซึ่งสามารถยืนยันชนิดของตะกอนที่เกิดขึ้นได้จากแบบรูปการเดี่ยวบนอิเล็กตรอนในเมทริกซ์ของโลหะผสม Al-2Cu, Al-1Si และ Al-2Cu-1Si ดังภาพ 20(ก-ค) ตามลำดับ นอกจากนี้ยังพบว่าในโลหะผสม Al-2Cu-1Si เมื่อบ่มแข็งเป็นเวลานานเข้าทำให้เฟส θ' จะมีขนาดและเป็นเส้นยาวมากขึ้น ดังภาพ 21





ภาพ 17 (g) ภาพถ่าย BF-TEM ของโลหะผสม Al-2Cu แสดงตะกอนของเฟส θ' หลังการบ่มแข็งที่อุณหภูมิ 225 องศาเซลเซียส เป็นเวลา 6 ชั่วโมง (h) ภาพถ่าย Dark-field ในทิศ $1\bar{1}2_0$

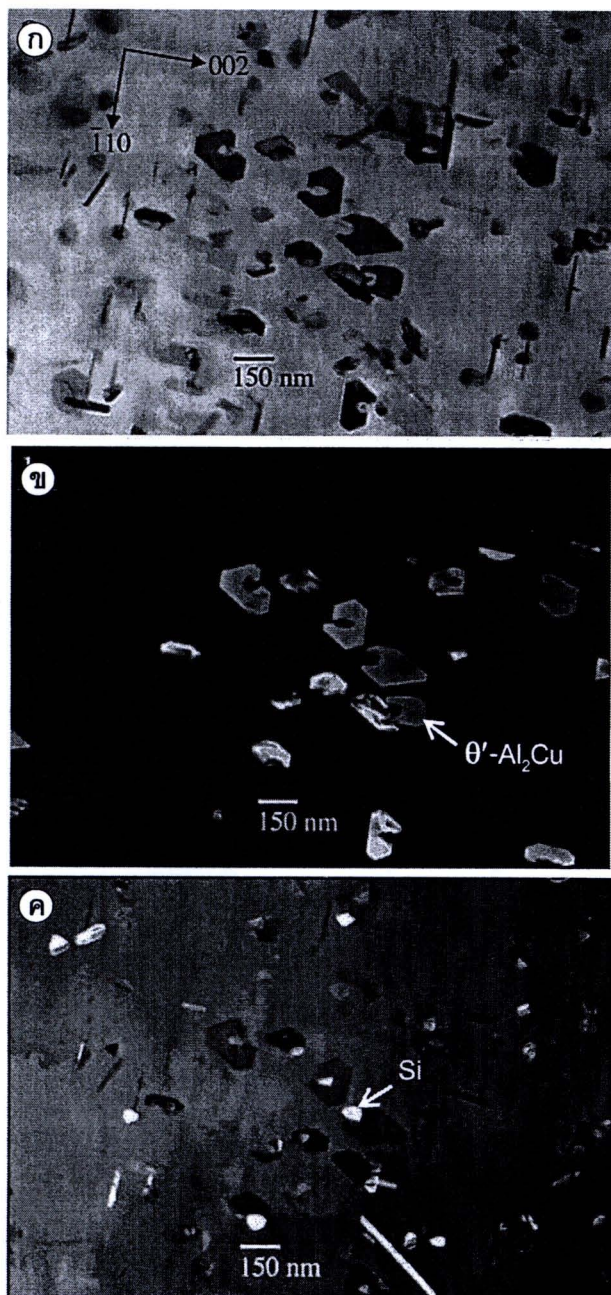
ที่มา: Mitlin, D., Radmilovic, V. and Morris, J. W. (1999, p. 2703)



โดย \rightarrow แสดงตะกอนที่มีความเครียดสูง

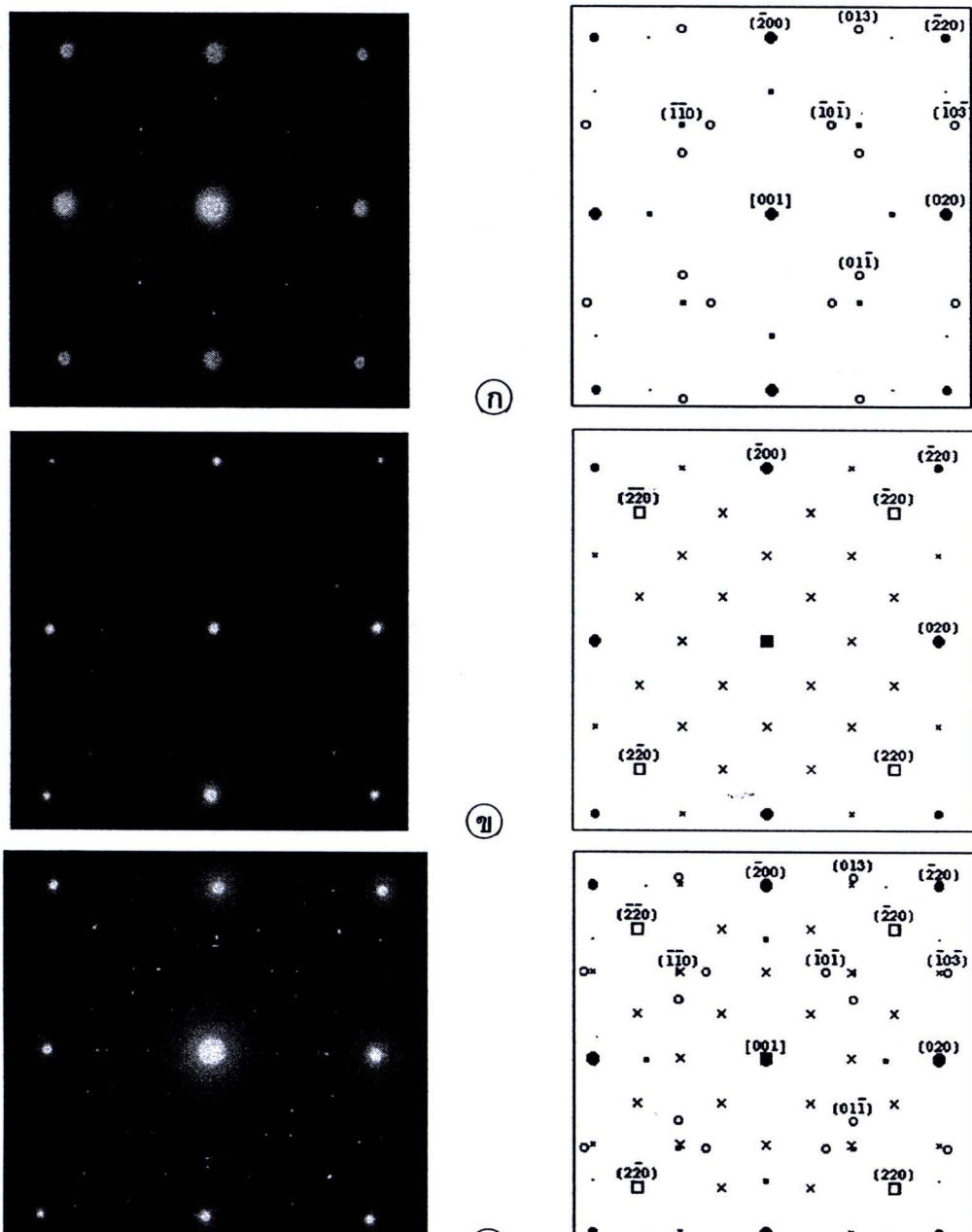
ภาพ 18 (ก) ภาพถ่าย BF-TEM ของโลหะสม Al-1Si แสดงตะกอนของเฟส Si หลังการบ่มแข็งที่อุณหภูมิ 225 องศาเซลเซียส เป็นเวลา 10 นาที ในทิศ 200_{Al}
 (ข) ภาพถ่าย Dark-field ในทิศ 220_{Si}

ที่มา: Mitlin, D., Radmilovic, V. and Morris, J. W. (1999, p. 2701)



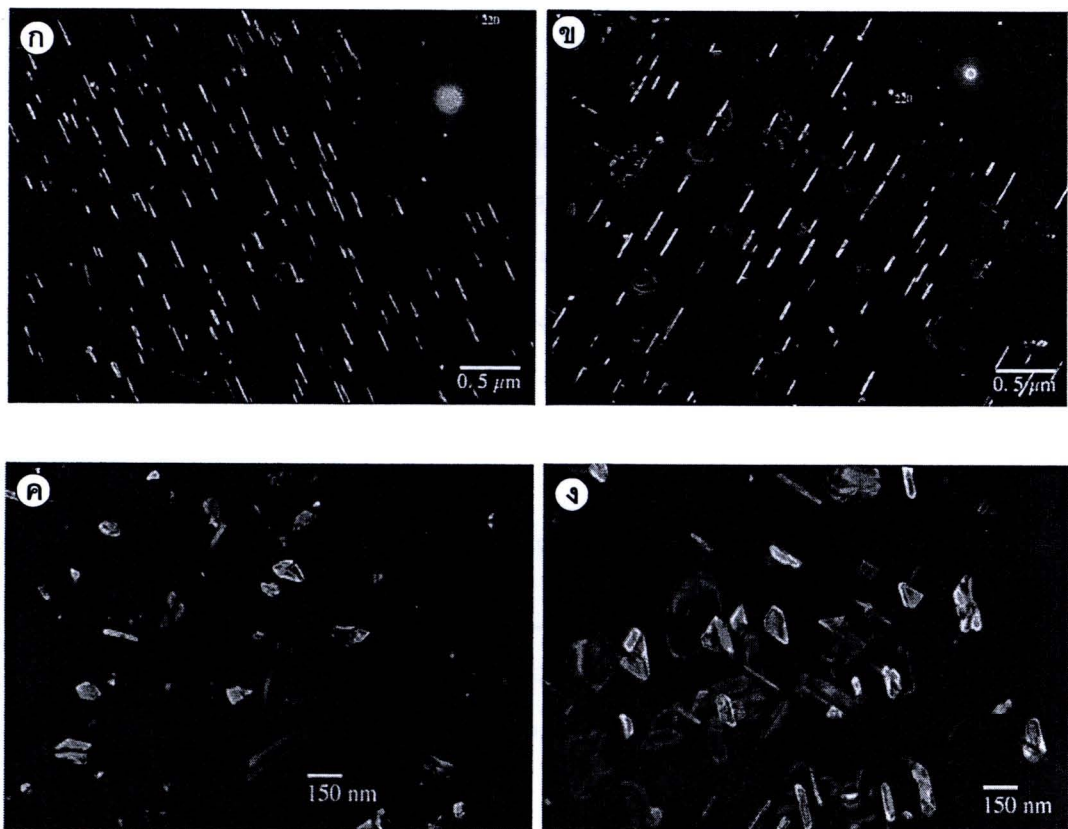
ภาพ 19 (ก) ภาพถ่าย BF-TEM ของโลหะผสม $\text{Al}-2\text{Cu}-1\text{Si}$ แสดงตะกอนของเฟส Si และ θ' - Al_2Cu ในโครงสร้างพื้น หลังการบ่มแข็งที่อุณหภูมิ 225 องศาเซลเซียส เป็นเวลา 6 ชั่วโมง (ข) ภาพถ่าย Dark-field ในทิศ $1\bar{1}20'$ (ค) ภาพถ่าย Dark-field ในทิศ $1\bar{1}1_{\text{Si}}$

ที่มา: Mitlin, D., Radmilovic, V. and Morris, J. W. (1999, p. 2703)



โดย ● = Al, ○ = θ' - Al_2Cu และ □ = Si

ภาพ 20 (ก) แบบรูปการเลี้ยวเบนอิเล็กตรอนยืนยันโครงสร้างผลึกของโลหะผสมหลังการบ่มแข็งที่อุณหภูมิ 225 องศาเซลเซียส เวลา 48 ชั่วโมง (แกนโซน $[001]_{\text{Al}}$)
 เพส θ' ในโครงสร้างพื้นของ Al-2Cu (ข) เพส Si ในโครงสร้างพื้นของ Al-1Si
 (ค) เพส θ' และ เพส Si ในโครงสร้างพื้นของโลหะผสม Al-2Cu-1Si



ภาพ 21 ภาพถ่าย Dark-field แสดงอนุภาคที่ตกลงกอนในโลหะผสม Al-2Cu-1Si หลังการบ่มแข็งที่อุณหภูมิ 225 องศาเซลเซียส (ก) เฟส θ' บ่มแข็งเป็นเวลา 6 ชั่วโมง (ข) บ่มแข็งเป็นเวลา 48 ชั่วโมง (ค) เฟส Si บ่มแข็งเป็นเวลา 6 ชั่วโมง (ง) บ่มแข็งเป็นเวลา 48 ชั่วโมง

ที่มา: Mitlin, D., Radmilovic, V. and Morris, J. W. (1999, p. 2702)



Kaufman, J. G. and Rooy, E. L. (2004, p. 71) ได้แสดงข้อมูลของลักษณะการปรับสภาพด้วยความร้อนของโลหะผสมอะลูมิเนียม-ชิลิกอน-ทองแดง เอ319 ต่อสมบัติเชิงกล ในโลหะผสมที่เข็นรูปด้วยการหล่อในแบบทรายและแบบหล่อถาวร ตาราง 6 จะเห็นว่าการปรับสภาพด้วยความร้อนแบบ T6 ให้ความต้านทานแรงดึงและความแข็งสูงสุด ซึ่งโลหะอะลูมิเนียมผสมสามารถทำการปรับสภาพด้วยความร้อนได้ทั้งแบบ T4, T5, T6 หรือ T7 แต่ที่นิยมคือแบบ T6 เนื่องจากสามารถเพิ่มสมบัติความต้านทานแรงดึงและความแข็งได้สูงที่สุด โดยไม่สูญเสียสมบัติการยืดตัว

สำหรับงานวิจัยที่ผ่านมาของการศึกษาผลของการปรับสภาพด้วยความร้อนต่อความแข็ง สูงสุดของอะลูมิเนียมผสม เอ319 แสดงดังตาราง 7

ตาราง 6 สมบัติเชิงกลของอะลูมิเนียมผสม เอ319.0

Heat Treatment	Tension			Hardness, HB	Shear ultimate strength, MPa	Fatigue ultimate limit, MPa	Modulus of elasticity, GPa
	Ultimate strength, MPa	Yield strength, MPa	Elongation, %				
F	185	125	2	70	150	70	74
T5	205	180	2	80	165	75	74
T6	250	165	2	80	200	75	74

ที่มา: Kaufman, J. G. and Rooy, E. L. (2004, p. 85)

ตาราง 7 งานวิจัยที่ผ่านมามาก่อนการปรับสภาพด้วยความร้อนของสูญญากาศและลม เลข 319

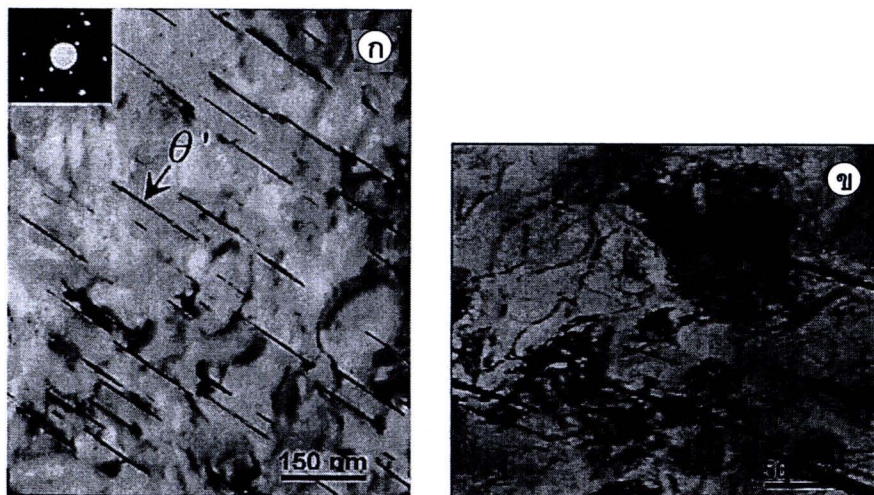
Heat Treatment	Solutionizing Temperatures : Times	Aging Temperatures : Times	Peak Hardness
T6 (Sokolowski, et al., 1995)	495 °C, 8 h follow by 505, 250 °C : 5 h 515, 520, 525, 530, 540 °C :	-	109 HV (Sol: 495 °C, 8 h follow by 530 °C, 2 h & Aging)
T4 (Cerri, et al., 2000)	500, 510 °C : 0-10,000 min	-	112 HV (Sol: 510 °C, 100 and 1,000 min)
T5 (Cerri, et al., 2000)	-	170, 220 °C : 0-6,000 min	116 HV (Aging: 170 °C, 10 h)
T6 (Cerri, et al., 2000)	500 °C : 4 h	20, 170, 200, 220 °C : 0-6,000 min	103 HR _f (Aging: 170 °C, 1,000 min)
T6 (Sepahrband, Mahmudi and Khomamizadeh 2005)	503 °C : 4-36 h	195 °C : 0-48 h	116 HV (Sol: 8 h, Aging: 195 °C, 6 h) 115 HV (Sol: 24 h, Aging: 195 °C, 6 h)
T6 (Cavaliere, Cerri and Leo, 2005)	500 °C : 4 h	160, 200 °C : 0.1-1,000 min	107 HV (Aging: 160 °C, 1,000 min)
T6 (Mahmudi, Sepahrband and Ghassemi, 2006)	503 °C : 24 h	175-235 °C : 0-48 h	116 HV (Aging: 175 °C, 10 h and 235 °C, 1 h) 115 HV (Aging: 195 °C, 6 h and 215 °C, 3 h)
T6 (Tash, et al., 2007)	495 °C : 8 h	155, 180, 200, 220 °C : 4 h	112 HV (Aging: 200 °C)
T6 (Sebaie, et al., 2008)	495 °C : 8 h	155, 180, 200, 220 and 240 °C : 5 h	100 HV (Aging: 200 °C) at high cooling rate 101 HV (Aging: 155 °C) at low cooling rate
T6 (Tavitas-Medrano, et al., 2008)	495 °C : 8 h	150, 170, 190, 220, 220 °C : 2, 4, 6, 8 h	110 HV (Aging: 170 °C, 8 h)
T6 (Haro, et al., 2009)	504, 545 °C : 4, 8 h	154, 200 °C : 6 h	77 HV (Sol: 545 °C, 8 h, Aging: 200 °C)

Haro, S., et al. (2009, pp. 886-891) ศึกษาผลของอุณหภูมิที่ใช้ในการอบละลายและตามด้วยการบ่มแข็งต่อสมบัติเชิงกลของอะลูมิเนียมผสม เอ319 โดยทำการอบละลายที่อุณหภูมิ 504 และ 545 องศาเซลเซียส เป็นเวลา 4 และ 8 ชั่วโมง และตามด้วยการบ่มแข็งที่อุณหภูมิ 154 และ 200 องศาเซลเซียส เป็นเวลา 6 ชั่วโมง ซึ่งพบว่าการอบละลายที่อุณหภูมิ 504 องศาเซลเซียส เป็นเวลา 8 ชั่วโมง แล้วบ่มแข็งที่อุณหภูมิ 154 องศาเซลเซียส เป็นเวลา 6 ชั่วโมง ทำให้ได้ค่าความต้านทานแรงดึงและความแข็งสูงสุด โดยการอบละลายที่อุณหภูมิสูงขึ้นจะทำให้เวลาที่ใช้ในการอบละลายที่ให้สมบัติเชิงกลที่ดีสั้นลง ส่วนการเพิ่มอุณหภูมิในการบ่มแข็งจาก 154 เป็น 200 องศาเซลเซียส จะทำให้ความแข็งที่เพิ่มขึ้น แต่ความหนึ่งลดลง อย่างไรก็ตามการบ่มแข็งที่อุณหภูมิสูงและเวลานานเกินไป จะทำให้อนุภาคที่ตกลงกันมีขนาดใหญ่เกินไป และทำให้ความต้านทานแรงดึงลดลง

Rincón, E., et al. (2009, pp. 128-140) ศึกษาผลของอุณหภูมิต่อสมบัติความต้านทานแรงดึงของอะลูมิเนียมผสม เอ319 ในสภาพหล่อและหลังการปรับสภาพด้วยความร้อน โดยการทดสอบแรงดึงที่อุณหภูมิ -90 ถึง 400 องศาเซลเซียส ของชิ้นงานในสภาพหล่อ ชิ้นงานที่ผ่านการอบละลายที่อุณหภูมิ 485 องศาเซลเซียส เป็นเวลา 4.5 ชั่วโมง (T4) และชิ้นงานที่ผ่านการอบละลายที่อุณหภูมิ 485 องศาเซลเซียส เป็นเวลา 4.5 ชั่วโมง แล้วบ่มแข็งที่อุณหภูมิ 230 องศาเซลเซียส เป็นเวลา 4.5 ชั่วโมง (T7) ซึ่งพบว่าสมบัติความต้านทานแรงดึงมีค่าสูงขึ้นหลังการปรับสภาพด้วยความร้อนแบบ T4 และ T7 แต่การยึดตัวมีค่าต่ำลง เนื่องจากการแตกหักของสารประกอบโลหะของเฟส α - $Al_{15}(Mn,Fe)_3Si_2$ และเฟส θ - Al_2Cu ซึ่งมีการเปลี่ยนแปลงทางโครงสร้างหลังการทดสอบแรงดึงของชิ้นงานหลังการปรับสภาพด้วยความร้อนแบบ T7 โดยการเปลี่ยนรูปของอนุภาคที่ตกลงกันหลังการทดสอบแรงดึงที่อุณหภูมิ 0 องศาเซลเซียส แสดงดังภาพ 22(ก) เมื่ออุณหภูมิในการทดสอบแรงดึงสูงขึ้นเป็น 320 องศาเซลเซียส แสดงดังภาพ 22(ข) มีการเปลี่ยนรูปของเฟส θ มีลักษณะดีไปตามแนวของดิสโลเกชันที่เคลื่อนที่หลังได้รับแรง

De-Feng, M., et al. (2010, pp. 3420-3426) ได้ศึกษาผลของโครงสร้างจุลภาคต่อพฤติกรรมการแตกหักของอะลูมิเนียมผสม เอ319 หลังการปรับสภาพด้วยความร้อนแบบ T6 พบว่าหลังการทดสอบแรงดึง ชิ้นงานจะเกิดการแตกหักมากขึ้นตามแรงที่ใช้ในดึงจนขาด โดยจุดเริ่มต้นของการแตกหักเกิดขึ้นที่เฟสของสารประกอบธาตุ Si ที่มีความแข็งและเปราะ และบริเวณที่มีรูพรุนซึ่งจะไม่เข้าอยู่กับตำแหน่งของหรือกลางชิ้นงานทดสอบ

Sokolowski, J. H., et al. (1995, pp. 385-392) ศึกษาการอบละลายสองครั้งเพื่อกำจัดเฟส Al_2Cu และเพิ่มสมบัติเชิงกลของโลหะอะลูมิเนียมผสมหล่อ เอ319 โดยทำการอบละลายที่อุณหภูมิ 495 องศาเซลเซียส เป็นเวลา 8 ชั่วโมง แล้วทำการอบละลายต่อที่อุณหภูมิ 505, 515, 520, 525 และ 540 องศาเซลเซียส เป็นเวลา 2 ชั่วโมง หลังจากนั้นนำมันบ่มแข็งที่อุณหภูมิ 250 องศาเซลเซียส เป็นเวลา 5 ชั่วโมง พบร่วมกับงานที่ผ่านการอบละลายในขั้นตอนที่สองโครงสร้างยูเทคติกมีการละลายลงสู่โครงสร้างพื้นมากกว่าการอบละลายเพียงครั้งเดียว และทำให้ความแข็งแรง ความเหนียว และความต้านทานแรงกระแทกเพิ่มขึ้น อย่างไรก็ตามการอบละลายครั้งที่สองที่อุณหภูมิมากกว่า 520 องศาเซลเซียส จะทำให้สมบัติเชิงกลลดลง



ภาพ 22 ภาพถ่ายของอะลูมิเนียม เอ319 หลังการปรับสภาพด้วยความร้อนแบบ T7
 (ก) การเปลี่ยนรูปโครงสร้างพื้น หลังการทดสอบแรงดึงที่อุณหภูมิ 0
 องศาเซลเซียส (ข) การเปลี่ยนรูปโครงสร้างพื้น หลังการทดสอบที่อุณหภูมิ
 320 องศาเซลเซียส

ที่มา: Rincón, E. et al. (2009, p. 136)

Alfonso, I., et al. (2006, pp. 1945-1952) ศึกษาผลของการเติม Mg และการปรับสภาพด้วยความร้อนต่อโครงสร้างจุลภาคของโลหะผสม Al-6Si-3Cu โดยชิ้นงานในสภาพหล่อสำหรับอุณหภูมิ 480 องศาเซลเซียส เป็นเวลา 4-72 ชั่วโมง พบร่วมกัน Mg ในปริมาณที่มากขึ้นของโลหะผสมไม่มีผลต่อสัญญาณวิทยาของเฟสซิลิกอนยูเทคติก แต่เฟส Al_2Cu มีการเปลี่ยนเป็นเฟส Q ($\text{Al}_5\text{Cu}_2\text{Mg}_8\text{Si}_6$) ชิ้นงานที่ผ่านการอบละลายพบว่าการละลายของเฟส Al_2Cu มากกว่าการละลายของเฟส Q ($\text{Al}_5\text{Cu}_2\text{Mg}_8\text{Si}_6$)

Ouellet, P. and Samuel, F. H. (1999, pp. 4671-4697) ได้ศึกษาผลของการเติมธาตุแมกนีเซียม ต่อการบ่มแข็งของอะลูมิเนียมผสมหล่อ เอ319 พบร่วมกันแมกนีเซียม ในปริมาณมากกว่า 0.45% ช่วยเพิ่มความต้านทานแรงดึงหลังการปรับสภาพด้วยความร้อน แบบ T5 และ T6 โดยความต้านทานแรงดึงในช่วง Under-aging ไม่พบร่วงเปล่งจากสภาพหล่อมากนักสำหรับช่วง Peak-aged ของชิ้นงานหลังอบละลายที่อุณหภูมิ 510 องศาเซลเซียส เป็นเวลา 8 ชั่วโมง และตามด้วยการบ่มแข็งที่อุณหภูมิ 150 องศาเซลเซียส เป็นเวลา 24 ชั่วโมง และช่วง Over-aging ไม่มีการเปลี่ยนแปลงมากจากช่วง Peak-aged นอกจากนี้ยังพบว่าการแตกหักจากการทดสอบแรงดึงมีการแตกผ่านเฟสยูเทคติกของสารประกอบที่มีส่วนผสมของซิลิกอน ทองแดง และเหล็ก

Li, Z., et al. (2004, pp. 96-110) ศึกษาการเติมธาตุ Cu, Sr, Fe และ P ในอะลูมิเนียมผสม เอ319 หลังการปรับสภาพด้วยความร้อนแบบ T5 และ T6 ต่อสมบัติความต้านทานแรงดึง ชี้งับว่าการเติมธาตุ Cu, Sr, Fe และ P ทำให้ค่าความต้านทานแรงดึงสูงสุด ค่าความเดินพิสูจน์ และเปอร์เซ็นต์การยึดตัวลดลง ไม่ว่ากรณีส่วนผสมของธาตุในปริมาณต่างๆ หรือหลังการปรับสภาพด้วยความร้อนแบบ T5 และ T6 ก็ตาม

Sepehrband, P., Mahmudi, R. and Khomamizadeh, F. (2005, pp. 544-549) ที่ได้ศึกษาผลของการเติม Zr หลังการบ่มแข็งในโลหะอะลูมิเนียมผสม เอ319 โดยทำการอบละลายที่อุณหภูมิ 503 องศาเซลเซียส เป็นเวลา 4-36 ชั่วโมง และตามด้วยการบ่มแข็งที่อุณหภูมิ 195 องศาเซลเซียส เป็นเวลา 0-48 ชั่วโมง พบร่วมกันอะลูมิเนียมผสมที่ไม่มีการเติม Zr มีค่าความแข็งสูงสุดเป็น 117 BHN ชิ้นงานที่ผ่านการอบละลายที่อุณหภูมิ 503 องศาเซลเซียส เป็นเวลา 8 ชั่วโมง และตามด้วยการบ่มแข็งที่อุณหภูมิ 195 องศาเซลเซียส เป็นเวลา 7 ชั่วโมง ส่วนโลหะอะลูมิเนียมผสมที่เติม Zr มีความแข็งสูงสุดเท่ากับ 119 BHN ชิ้นงานที่ผ่านการอบละลายที่อุณหภูมิ 503 องศาเซลเซียส เป็นเวลา 24 ชั่วโมง และตามด้วยการบ่มแข็งที่อุณหภูมิ 195 องศาเซลเซียส เป็นเวลา 6 ชั่วโมง เนื่องจากการเกิดเฟส Al_3Zr ที่เพิ่มความแข็งในโลหะผสม



Mahmudi, R., Sepehrband, P. and Ghasemi, H. M. (2006, pp. 2606-2610) ได้ศึกษาการเติม Zr ในอะลูมิเนียมผสม เอ319 โดยอบละลายที่อุณหภูมิ 503 องศาเซลเซียส เป็นเวลา 24 ชั่วโมง และตามด้วยการบ่มแข็งที่อุณหภูมิ 175-235 องศาเซลเซียส เป็นเวลา 0-48 ชั่วโมง พบว่าการเติม Zr ทำให้ความต้านทานแรงดึงมีค่าเพิ่มขึ้น และความต้านทานการสึกหรอลดลง หลังการบ่มแข็งทำให้ความเด่นุดครากรถและความเด่นแรงดึงสูงสุดเพิ่มขึ้น ในขณะที่อัตราการยืดตัวลดลง และความต้านทานการสึกหรอลดลงจากสภาพหล่อ

Tavitas-Medrano, F. J., et al. (2008, pp. 356-364) ได้ศึกษาผลของการเติม Mg และ Sr ต่อสมบัติเชิงกลหลังการบ่มแข็งในโลหะอะลูมิเนียมผสม เอ319 โดยการอบละลายที่อุณหภูมิ 495 องศาเซลเซียส เป็นเวลา 8 ชั่วโมง และตามด้วยการบ่มแข็งที่อุณหภูมิ 150-240 องศาเซลเซียส เป็นเวลา 2-8 ชั่วโมง พบว่าการเติม Sr ทำให้อัตราการยืดตัวลดลงและความต้านทานแรงกระแทกเพิ่มขึ้น ซึ่งมีค่าสูงสุดเมื่อบ่มแข็งที่อุณหภูมิ 150 องศาเซลเซียส เป็นเวลา 4 ชั่วโมง อย่างไรก็ตามการเติม Sr ลงในโลหะผสมในปริมาณน้อย จึงทำให้มีการเปลี่ยนแปลงทางโครงสร้าง จุลภาคของโลหะผสม ส่วนการเติม Mg ทำให้เกิดเฟส Al_2Cu , Mg_2Si , Al_2CuMg และ $\text{Al}_2\text{CuMg}_5\text{Si}_4$ ทำให้ค่าความเด่น จุดครากร ความเด่นแรงดึง และความแข็งเพิ่มขึ้น ซึ่งมีค่าสูงสุดเมื่อบ่มแข็งที่ อุณหภูมิ 170 องศาเซลเซียส เป็นเวลา 8 ชั่วโมง แต่อัตราการยืดตัวและความต้านทานต่อแรงกระแทกลดลง อย่างไรก็ตามการบ่มแข็งที่อุณหภูมิสูงหรือเวลานานเกินไป จะทำให้สมบัติเชิงกลเริ่มคงที่และมีแนวโน้มลดลง ซึ่งอยู่ในช่วง Over-aging

Ovono, D. O., Guillot, I. and Massinon, D. (2008, pp. 425-431) ได้ศึกษาพฤติกรรม ของความล้าในอะลูมิเนียมผสมหล่อ เอ319 พบว่าการเติม Si, Fe และ Mn (AS9U3G) ทำให้ความต้านทานการแตกหักเนื่องจากความล้าลดลง แต่ไม่มีการเปลี่ยนแปลงทางโครงสร้างจุลภาคของอนุภาคที่ตัดก่อนหลังการปรับสภาพด้วยความร้อนแบบ T5 ส่วนการบ่มแข็งเป็นการเพิ่มความต้านทานการแตกหักเนื่องจากความล้า

Ma, Z., et al. (2010, pp. 3791-3803) ได้ศึกษาอิทธิพลของการบ่มแข็งและการเติมธาตุ Mn และ Sr ต่อความแข็งของโลหะผสม $\text{Al}-11\text{Si}-2.5\text{Cu}$ และ $\text{Al}-9\text{Si}-3.5\text{Cu}$ ที่เติม Mg พบร้า การบ่มแข็งของโลหะผสมที่เติม Mn ความแข็งจะเพิ่มขึ้นเพียงเล็กน้อยจากชิ้นงานในสภาพหล่อ ส่วนการเติม Sr ทำให้ความแข็งลดลง และหลังการบ่มแข็งทำให้ความแข็งมีค่าเพิ่มขึ้นจากสภาพหล่อจนถึงค่าสูงสุด นอกจากนี้ยังพบว่าการบ่มแข็งเป็นเวลานานเกินไป ทำให้ความแข็งลดลงเรียกว่า ช่วง Over-aging อย่างไรก็ตามการบ่มแข็งที่อุณหภูมิสูงขึ้นทำให้ความแข็งมีค่าเพิ่มขึ้น และความแข็งสูงสุดจะพบที่การบ่มแข็งเป็นเวลาสั้นลง